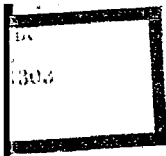


6062
(2)

砲架之理論及設計

呂則仁編

兵工學校印刷所印製



MG
TJ 2028
1

軍事科學出版社

北京

砲架之理論及設計

第一章 緒 論

各種砲架之構造已於構造通論內述其大概。因其設計目的之不同，式樣甚多，茲綜括述之如下：

砲架之任務係規定砲身射擊時之位置及承受射擊時之後座能。砲身之位置可分解為仰角及方向角，故必需具有高低及方向照準機，為承受後座能乃裝有駐退復進機。砲身、駐退復進機、高低及方向照準機等無論係永久裝於一處，或臨時可以移動，必需裝於另一架或座子上，如機器下部之機身。各種砲架之構造不過為此數種機件之互相排列，使適應各種特殊用途，他如隨準具，平衡機，防盾，軸簧等等皆為附屬設備，視實際之需要，予以適當之設計。

一般砲架之排列為駐退機——高低照準機——方向照準機——下砲架，（其他構造，可視為例外，如方向射界甚小之單眼砲架，方向機在高低機之上。實際上已漸淘汰。）隨準具及平衡機，裝於高低照準機上，防盾裝於方向照準機上。

砲架之設計一如普通機器之設計，惟其條件往往十分嚴格，因而更覺困難。近來戰事大量使用火砲，故消耗量極大，欲求補充較易，必需能大量製造。而砲身及砲架之設計即大有變態，尤以野戰砲為甚。砲架零件儘量利用普通工業標準品，如鋼管，鋼板及各種型鐵，電銲術之進步更促進此趨勢，曾見德國之10.0 cm榴彈砲，大架之轉盤座及軸簧，裝正之曲臂皆為大鋼管製成，各處之軸承皆厚鐵板彎成，極為簡易。砲身單層，無螺絲，全部為車工工作，平衡機只有一個，一反普通左右對稱之原則，其重為1,8t。較一般同口徑砲重，故砲架之設計當隨時代而改進，不能墨守成規。惟已生之經驗數字，必需重視，非有確實理由，不可加以重大之更改。少設計”為一般之原則，不可違背。

使用時之環境，設計時當先假定。氣候，及地面情況，對設計之影響甚大，例

即圖外
部
拆
書
架

(南)



3 1764 8829 8

砲架之理論及設計

如野戰砲之車輪，沙漠，沼澤地帶之設計不宜於山地之使用。曾在特殊環境中使用之舊火砲為最好之參考材料，軍事人員之要求尤為尊重。設計必需適應環境方能發揮最大效能。

製造技術設計時必需慮及，以本國在戰時不致發生困難為原則。我國工業落後，製造技術尤為幼稚，戰後各方面將急起直追，迎頭趕上。惟特殊困難之技術有非短時間所能學成者，設計時當避免使用。原料問題尤為重要，如缺乏合金鋼之國家，宜多用普通碳素鋼，即火砲性能因而稍差，亦所不惜。火砲之製造在平時僅能在少數廠家，戰時方動員全國工業，傾力以赴，故以少用特殊工作機或工作方法為佳，且宜儘量利用民間通用之工作方法，否則平時之優良設計，戰時即不合用。

堅固，確實方能耐戰場上粗暴之使用，各大小零件之尺寸，必需參考原有他種優良設計慎重決定，不可死信力學計算結果，以致尺寸過弱。計算結果僅示吾人以最小尺寸，並不能担保使用，或運輸時之意外大方。惟此種意外力量自有一般限制，實用上大至如何程度，難以確實表示，以研究原有優良設計，比較決定為妥。

砲架因火砲之多方使用，常有新設計出現，戰時因敵方之武器而發生新的要求，尤多改變，吾人僅能就一般原理加以研究。計算方法除駐退機構而外，大部份皆為普通力學，無異於機械設計。野戰砲架，條件最苛，安定性問題亦有連帶關係，當特加敘述。

砲架設計之計算方法，實只能視為估計，且第一次之設計各種重量及重心位置皆為估算之結果，故不必在公式上太加考究。決定某一重要尺寸，必需顧及全砲架之利益，不可單為某一部分打算。往往某部份有利之結構害及全體，困難層出不窮。各部份之佈置，甚為重要，有關成敗。小部分之錯誤在所難免，且易改良。整個之錯誤無法補救。故平時研究各種砲架之結構佈置，實為設計之基礎。

設計，試造，試驗，失敗，為成功必然之步驟。一份圖樣往往要經多次試造更改方能認為妥當，各方參考愈多，考慮愈週到，次數得以減少，若問題過難必致無解。

第二章 射擊時作用於砲架之外力

I. 作用於後退體之外力

射擊時砲身及一部份駐退復進機另件，受膛內壓力向後運動，總名之曰後退體，其所受之外力如下：

第一圖

1. P 作用於膛內砲門前面之總壓力，此力於砲彈出砲口後即漸消滅。
2. G_r 為作用於後退體重心之後退體全重。
 d 為後退體重心至砲身軸之距離。
3. B 為駐退復進機作用於後退體之阻力。
 c 為此阻力與後退體重心之距離。
4. N_1, N_2 為後退體導面作用之垂直壓力。
5. $\mu \cdot N_1 = R_1; \mu \cdot N_2 = R_2$ 為後退磨擦力。
 μ 為磨擦係數。

若 $\frac{G_r}{g} \cdot \frac{dv}{dt}$ 為與上諸力平衡之後退慣性力 (Trägheitskraft)。

v 為後退速度。

N_1 及 N_2 可由下列條件計算之：

垂直於運動方向之分力和為 0

$$N_2 - G_r \cdot \cos \Sigma - N_1 = 0 \quad (1)$$

對重心之力矩和為 0

$$P \cdot d + B \cdot c + \mu \cdot N_2 \cdot \gamma_2 - \mu \cdot N_1 \cdot \gamma_1 - N_2 \cdot Z - N_1 \cdot y = 0 \quad (2)$$

由此二式可得

$$N_1 = \frac{B \cdot c + P \cdot d - G_r \cos \Sigma (Z - \mu \cdot \gamma_2)}{a - \mu (\gamma_2 - \gamma_1)} \quad (3)$$

$$N_2 = \frac{B \cdot c + P \cdot d + G_r \cos \Sigma (y + \mu \cdot \gamma_1)}{a - \mu (\gamma_2 - \gamma_1)} \quad (4)$$

總摩擦力 R

$$R = \mu (N_1 + N_2) = \mu \cdot \frac{Z(B \cdot c + P \cdot d) + G_r \cos \Sigma [y - Z + \mu (\gamma_1 + \gamma_2)]}{a - \mu (\gamma_2 - \gamma_1)} \quad (5)$$

在第一圖中：SS 為後退體重心之運動直線。

若 N_1 在 SS 下方， γ_1 之值為負。

若 M_2 在 SS 上方， γ_2 之值為負。

若重心位置在 N_1 前方， y 之值為負。

若重心位置在 N_2 後方， Z 之值為負。

若重心位置在砲身軸之上方， d 之值為負。

若 B 之作用線在 SS 上方， c 之值為負。

第二圖為常見之設計， $\Sigma = \gamma + Z$ ， Z 值因後退重之增加而減少。

第二圖中之後導為常分為兩件：中導筒及後導筒，則當後導筒離開搖架導面時， N_2 之值突然減小， N_2 之作用點跳至中導筒上。

II. 作用於全砲架之外力

設想砲架如第三圖所示：後端 c 與地面連接，僅可轉動；前端則置於地面。

主。

$$d (\Sigma \sin \alpha - G + R + B) + B \rho > G \rho$$

$$a, G \rho + B \rho + (B + R - G) \rho \sin \alpha$$

若使砲架轉動，則砲架與地面之接觸點將發生變化。

砲架土向之合力為向後，而砲架土向之合力則為向前。

前段為重心 B 之合力，大段為重心 G 之合力。

第三圖

c 點之作用力可分為水平力 T 及垂直力 N_c 。前端則僅壓力 N_d 。

G 。為砲架全重（砲全重減後退體重）。

S 。為砲架重心。

S_2 。為後退體重心。

第四節

平衡條件如下：

(II) 及 (01) 由

$$\frac{1}{2} \cdot T - \frac{B}{2} \cos \Sigma + \mu \cdot (N_1 + N_2) \cos \Sigma + (N_1 - N_2) \sin \Sigma - \left(\frac{e}{2} - 1 \right) G \rho$$

$$\frac{2}{2} \cdot N_d + N_c = G + B \sin \Sigma + (N_2 - N_1) \cos \Sigma + \mu (N_1 + N_2) \sin \Sigma \quad (7)$$

$$3. N_d \cdot n + B \cdot e + N_1 \cdot n_1 - N_2 \cdot n_2 + \mu \cdot N_1 \cdot f_1 + \mu \cdot N_2 \cdot f_2 - G \cdot s_2$$

將 (1) (2) (5) 式代入，解之得： $\Sigma \sin \alpha - \Sigma \cos \rho = d$

$$T = (B + R) \cos \Sigma - G_r \sin \Sigma \cos \Sigma$$

研

$N_d + N_c = G \cos \Sigma + (B+R) \sin \Sigma + G_r \sin \Sigma \cos \Sigma$ 由(10)及(11)得

$$N_d = \frac{G \cos \Sigma + (B+R) \sin \Sigma + G_r \sin \Sigma \cos \Sigma - P \cdot d + (B+R - G_r \sin \Sigma) \cdot h}{1} \quad (11)$$

$G = G_r + G_1$ 為總重量。

d 為全圖重心至 C 之水平距離。

由(11)式可知： N_d 之值 $\Sigma = 0$ 之時為最大。

N_d 之值為正，若：

$$G_s > P \cdot d + (B+R - G_r \sin \Sigma) \cdot h \quad (12)$$

$$\text{或 } G_s \cdot P \cdot d + (B+R - G_r \sin \Sigma) \cdot h - G_r \cdot s_r \quad (13)$$

此時 N_d 為壓力，砲架下能離開地面，故此條件稱為安定性。

若 N_d 之值為負則前端亦需固連於地面，以免向後翻轉或向上跳起。

N_d 之值當 Σ 最大時為最大，此時 h 最小或為負值。

第四圖

第五圖

由(10)及(11)

$$N_c = G \left(1 - \frac{s}{h} \right) - G_r \left(\frac{\sin \Sigma}{\sin \Sigma + \sin \Sigma} \cdot \frac{h}{h} + \frac{\cos \Sigma}{\sin \Sigma + \sin \Sigma} \cdot \frac{h}{h} \right) + (B+R) \left(\sin \Sigma + \frac{h}{h} \right) + P \cdot \frac{d}{h}$$

由(11)式可知：

(12)式

$$N_c = G \left(1 - \frac{s_c}{n} \right) + G \left[\sin^2 \Sigma \cdot \frac{n-s_c}{n} + \frac{\eta}{n} \sin \Sigma \cdot \cos \Sigma \right] + (B+R) \left[\sin \Sigma \cdot \frac{n-s_c}{n} + \frac{\eta}{n} \cos \Sigma \right] + P \cdot \frac{d}{n} \quad (14)$$

野戰砲架一般之值甚小，合此值之項可以略去。若再略去 $\frac{\eta}{n} \sin \Sigma \cdot \cos \Sigma$ 及 $\sin \Sigma$ 之項則

$$N_c = G \left(1 - \frac{s_c}{n} \right) + P \cdot \frac{d}{n} + (B+R) \frac{\eta}{n} \cos \Sigma \quad (15)$$

$\Sigma = 0$ 時其值為最大，此時 $\eta = h$

野戰砲架一般之安定性值在 $\Sigma = 0$ 時最接近 0。

由 (12)

$$Pd + (B+R)h - Gs = 0$$

故 N_c 之最大值近於

$$N_{c \max} = G \quad (16)$$

第三章 駐退力及後退長之計算

(21)

§ 1. 加速期之後退速度及後退距離

後退體之運動可分加速期及減速期。加速期中砲管內之壓力使後退體加速向後運動。減速期中，砲管內之壓力已消滅，後退體僅受駐退力之作用而減速。(詳第五章)

在減速期中若有駐退力作用，則最大後退速度較小。茲分述如下：

1. 加速期中無駐退力作用

V_0 砲彈出口時後退體之速度 m/s

v_0 砲彈初速 m/s

L 發射藥重量 kg

G_r 砲彈重量 kg

G_r 後退體重 kg

$$V_{max} = \frac{v_0 (G_r + 0.5L)}{G_r} \quad (17)$$

砲彈出口後，砲口壓力尚未消滅，仍作用于後退體上，後退速度繼續增加至 V_{max} 。此項作用簡稱為後效。

後效作用理論上極其複雜，發表者甚多，實際上僅能用實驗公式估算之。

$$V_{max} = \frac{v_0 (G_r + \beta L)}{G_r} = \frac{v_0 G_r}{G_r} \left(1 + \beta \frac{L}{G_r} \right) \quad (18)$$

此式與 (17) 形式全同， β 為實驗係數，其值為 1.6~3。中等初速之火砲可取 2.5。

據近午 Füsgen 發表 Rheinmetall 廠試驗結果。

$$V_{max} = \frac{v_0 G_r}{G_r} \sqrt{1 + \frac{v_0}{k}} \quad (19)$$

$k=750\sim 950 \text{ m/s}$ 平均可用 $(\frac{750+950}{2}) \cdot s = 2$

(19) (18) 數值變化範圍為小，惟此種實驗式其實驗常數之選擇，必須根據經驗方能證實，至於試驗時所應注意之事項及試驗結果之較真妥當，設計時為穩當計 V_{max} 之值宜選擇大者。

以下用及內彈道數字，若無精確之試驗或實驗，則可用 Luduc-Bollé 法計算之（與原 Luduc 法稍有不同）。

砲口面積 q

v_0 為初速 m/s

砲口之長度因彈道差而自砲口 Δ^2

P_{max} 為最大膛壓 kg/cm^2

p 為膛內壓力

x 為膛內行程 m

x_{max} 為最大膛壓之行程

q 為膛內斷面積 cm^2

t 為行至 x 之時間 sec

G_g 為彈重 kg

$$m = \frac{G}{9.81}$$

$$v = \frac{a x}{b + x} \tag{20}$$

$$P_{max} = \frac{4}{27} \cdot \frac{m}{q} \cdot \frac{a^2}{b} \tag{21}$$

$$P = \frac{m}{q} \cdot a^2 b \cdot \frac{x}{(b+x)^3} \tag{22}$$

$$t = \frac{b}{a} \left[3 \sqrt[3]{\frac{1}{\Delta} \left(\frac{1}{42} + \frac{1}{b} \right)} + \frac{\log \left(\frac{3x}{b} \right)}{0.4343} \right] \tag{23}$$

已知 q, G_g, v_0, P_{max} 及最大行程 s 則由 (20) (21) 可求出 a 及 b 。砲口壓力 P 及膛內時間 t 可用 (22) 及 (23) 將 a, b 及 s 代入算出。

S_1 氣砲後及完畢時後退體之後退距離

S_2 砲彈出砲口時後退體之後退距離

S_{Δ} 自砲彈出砲口至後效完畢之後退距離

s 為砲彈在膛內之總行程

$$S_0 = \frac{s \cdot (G_0 + G_0 \beta L)}{G_0 + G_0 \beta L} \quad (24)$$

此處之 \$s\$ 係由 \$G_0 + G_0 \beta L\$ 之 \$G_0\$ 所決定

當彈簧之長度及彈簧之壓力與彈簧出口之液情形如下：

$$p = p_0 \left(1 - \frac{t}{\Delta} \right)$$

此係將 \$p\$ 與 \$p_0\$ 之關係，以 \$t\$ 與 \$\Delta\$ 之關係表示之。

\$p_0\$ 為進口壓力

\$\Delta\$ 為自彈簧出口至液完全之時間

第六節

\$(t/\Delta)\$ 之求法如下：

\$d\$ 為砲膛直徑

$$(25) \quad P_0 \text{ 為砲口總壓力} = p_0 \frac{\pi d^2}{4}$$

$$(26) \quad \frac{G_0}{g} \frac{dv}{dt} = P_0 \frac{\pi d^2 \left(\frac{v}{g} \right) \pi d \rho l}{4 \cdot \pi \cdot \frac{\pi d^2}{4} \cdot \frac{\pi d^2}{4}} = p_0 \left(\frac{x}{g} + \frac{t}{\Delta} \right)$$

由 \$d\$ 及 \$s\$ 求 \$t\$ 之關係，由 \$V = V_0 + at\$ 及 \$V = v_0 + at\$ 得 \$t = \frac{V - V_0}{a}\$ 及 \$t = \frac{v - v_0}{a}\$ 故 \$V = v_0 + a \frac{v - v_0}{a} = v\$

$$t = \frac{2}{g} \cdot \frac{\Delta G_0}{P_0} (V_{max} - V_0)$$

$$= \frac{2L}{g} \cdot \frac{v_0 \left(\frac{v_0}{P_0} + \frac{1}{g} \right)}{P_0} \quad (27)$$

S_{Δ} 之求法如下：

$$\begin{aligned} \frac{G_r}{g} \cdot dv &= P_0 \left(1 - \frac{t}{\Delta}\right) dt \\ (25) \quad v &= -\frac{P_0 \cdot g}{G_r} \left(t - \frac{t^2}{2\Delta}\right) + C_1 \end{aligned}$$

因 $t=0$ 時 $v=V_0$ 故 $C_1 = V_0$

$$\frac{dx}{dt} = V_0 - \frac{P_0}{G_r} g \left(t - \frac{t^2}{2\Delta}\right) + V_0 \quad (26)$$

$$x = \frac{P_0}{G_r} g \left(\frac{t^2}{2} - \frac{t^3}{6\Delta}\right) + V_0 t + C_2$$

因 $t=0$ 時 $x=0$ 故 $C_2 = 0$

因 $t = \Delta$ 時 $x = S_{\Delta}$

$$S_{\Delta} = \frac{P_0}{G_r} g \left(\frac{\Delta^2}{2} - \frac{\Delta^3}{6\Delta}\right) + V_0 \Delta \quad (26)$$

$$S_{\Delta} = S_0 + S_{\Delta} = \frac{g(G_g + 0.5L)}{G_r + G_g + L} + V_0 \left(\frac{g}{\Delta} + \frac{V_0}{G_r}\right) \frac{\Delta^2}{3} \quad (27)$$

2. 加速期中已有駐退力 K 作用

V_0' 砲彈出砲口時之後退速度

V_{0g} 後發完畢時之後退速度 $\frac{0.280 \cdot V - 0.020 \cdot V}{0.717}$

S_0' 砲彈出砲口時之後退距離

S_{0g} 砲膛內壓力作用期中之後退距離 $\sqrt{\frac{0.76 + v}{1}}$

t 為砲彈在膛內行進之時間

$$V_0' = V_0 \cdot \frac{K}{G_r} \cdot t \quad (28)$$

發砲彈出口後氣體後效作用於砲身之平均力為 $\frac{P_0}{2}$ 則

$$\begin{aligned}
 v_0 &= v_0 \cdot \frac{P_0}{2G_r} \cdot t \Delta - \frac{K}{g} t \Delta \\
 &= v_0 \cdot \frac{P_0}{2G_r} \cdot t \Delta - \frac{K}{g} t \Delta + t \left(\frac{t}{\Delta^2} - t \right) \cdot \frac{q}{\Delta} = v_0 \cdot \frac{t \Delta}{2} \quad (29) \\
 &= v_0 \cdot \frac{P_0}{2G_r} \cdot t \Delta - \frac{K}{g} t \Delta + \frac{t}{g} \left(\frac{t}{\Delta^2} - t \right) \cdot \frac{q}{\Delta} = v_0 \cdot \frac{t \Delta}{2}
 \end{aligned}$$

$$\begin{aligned}
 S_0 &= S_0 - \frac{1}{2} \cdot \frac{K}{g} \cdot t_0^2 = s \cdot \frac{G_0 + 0.5L}{(G_r + G_0 + L)} - \frac{K}{g} t_0^2 \cdot \frac{1}{2} \cdot \frac{q}{\Delta} = v_0 \cdot \frac{t_0 \Delta}{2} \quad (30) \\
 &= v_0 \cdot \left(\frac{t_0}{\Delta^2} - t_0 \right) \cdot \frac{q}{\Delta} = v_0 \cdot \frac{t_0^2}{2\Delta}
 \end{aligned}$$

$$S_0' = S_0 - \frac{K}{2G_r} (t_0 + t_0 \Delta)^2 \quad (31)$$

$$\begin{aligned}
 &= -\frac{s(G_0 + 0.5L)}{G_r + G_0 + L} + v_0 t \Delta + \frac{K}{g} \cdot \frac{\Delta}{2} \cdot \frac{K}{g} (t_0 + t_0 \Delta)^2 \quad (32)
 \end{aligned}$$

上述計算方法，因砲彈穿砲口後之後效作用不甚明確，故結果不甚可靠，僅可視為估計，欲準確應以實驗求得 $p=f(t)$ 曲線，再算出彈質數值，或以砲口制退機之作用不易估計，一般約計之如下：

- E_{00} 有砲口制退機之後退能
- E_0 無砲口制退機之後退能
- V_{max} 有砲口制退機之最大後退速度
- V_{max0} 無砲口制退機之最大後退速度

$$\eta = \frac{E_0 - E_{00}}{E_0} = \frac{V_{max0}^2 - V_{max}^2}{V_{max0}^2} \quad (33)$$

$$V_{max0} = \frac{v_0(G_0 + 0.5L)}{G_r} \sqrt{\frac{2G_r}{K}}$$

例如某 76,2mm 口徑 L/50 高射砲
(82) $G_0 = 6,5 \text{ kg}$

$$v_0 = 750 \text{ m/s}$$

射擊試驗結果：彈質 $\frac{q}{\Delta}$ 欲求平火與砲口制退機對砲口出擊影響

射彈 $J_{1+2} = 2770 \text{ kg m}$

$E_a = 2900 \text{ kg m}$

(8E) $\eta = \frac{3770 - 2900}{3770} = \frac{870}{3770} = 23\% \approx \eta$

此為該砲口制退機之效能，若用於相近之火砲可用 η 之值代入 (84) 式求出

$$\frac{(1 + \beta + \beta^2)}{\beta} \cdot \eta = \gamma$$

II. 固定砲架之駐退力及後退長之計算

固定砲架多用於要塞砲海軍砲等，其下砲架係倚靠於地面或其他大基礎上，野戰高射砲及克車砲等亦屬之。此類砲架之設計條件極為強度，故駐退力以常數為最好，因地位之限制其後退長往往較小，約為口徑之 $\frac{2 \sim 3}{2000} \text{倍}$ 。

1. 加速期中無駐退力作用

$$E = \frac{G_r}{2g} \cdot V_{max}^2 = \frac{v_a^2}{2} \frac{(G_r + \beta L)^2}{g G_r} \quad (35)$$

設 ξ 為後退長，則此後退能 E 須在 $\xi - S_{em}$ 之距離內與駐退力 $B + R$ 消滅之，若砲身與水平線成 Σ 之仰角，則能量尚須增加 $G_r \sin \Sigma$ 之量，故

$$E + G_r \cdot \xi \cdot \sin \Sigma = \int_{x=S_{em}}^{x=\xi} (B + R) dx \quad (36)$$

若 $B + R$ 為常數，則

$$B + R = \frac{E + G_r \xi \cdot \sin \Sigma}{\xi - S_{em}} \quad \xi = \frac{E + G_r \xi \cdot \sin \Sigma}{B + R} \quad \xi = \Delta \quad (37)$$

2. 加速期中已有常駐退力 $B + R$ 作用

設 $K = B + R - G_r \cdot \sin \Sigma$ 為有效常駐退力，

後退體之最大能量 $\frac{(G_r \xi + 1) G_r}{2} \cdot \frac{1}{2} v_a^2$ 之量，由 K 消滅之

$$K(\xi - S_{em}) = \frac{G_r}{2g} \cdot v_a^2 \quad \text{或} \quad \xi = \frac{3120.0}{18.9}$$

將 (20), (32) 及 (25), (17) 式代入, 且略去 $G_r + G_l$ 之 $G_z + L$ 可得下列各式:

$$K = \frac{2 \cdot \frac{G_r}{g} - Z + 2Y(t_0 + t_{\Delta})}{m \times 1000} = \dots \quad (38)$$

$$Y = v_0 \cdot \frac{(G_z + B L)}{g} \quad (39)$$

算此二變量之式代於 (38) 式乘除整理 II

視: 上述基本關係式及 (38) 式與 (39) 式: $\left[\frac{2G_z + L}{g} + \frac{(1 + \beta) \cdot \frac{G_r}{g}}{\dots} \right] \dots$

$v_0 = 900 \text{ m/s}$

$G_z = 11000 \text{ kg}$

$$G_r = 54 \text{ kg} \quad L = 20 \text{ kg}$$

密度 $\rho = 3200 \text{ kg/cm}^3$

彈丸直徑 $d = 17 \text{ mm}$

$$S = 5 \text{ m}$$

$$\xi = 0,36 \text{ m}$$

$$t_0 = 0,0151 \text{ sec}$$

$$t_{\Delta} = 2 \cdot \frac{L}{g} \cdot \frac{v_0 (\beta - \frac{1}{2})}{P_0} = 2 \cdot \frac{20}{9,81} \cdot \frac{900 (0,8 - 0,5)}{320000} = 0,0218 \text{ sec}$$

$$Y = \frac{v_0 \cdot \frac{(G_z + B L)}{g}}{g} = \frac{900 \cdot \frac{(11000 + 20)}{9,81}}{9,81} = 9360$$

$$Z = \frac{2 \cdot 54 + 20}{g} = \frac{128}{9,81} = 13,15$$

$$\frac{0,0218}{9,81} = 0,0022$$

$$K = \frac{G_r}{g} \cdot v_0 = \frac{54}{9,81} \cdot 900 = 4920$$

$$K = \frac{2 \cdot 0,36 \cdot 11000}{9,81} - 420 + 2 \cdot 9360 \cdot (0,0218 + 0,0161) = 22600 \text{ kg}$$

若加速期中無常駐退力作用則

$$V_{\text{max}} = \frac{900(54 + 0,5 \cdot 20)}{11000} = 8,5 \text{ m/s}$$

$$\text{又 } V_{\text{max}} = \frac{900(54 + 0,5 \cdot 20)}{11000} = 5,33 \text{ m/s}$$

$$(1b) \quad E = \frac{8,5^2 \cdot 11000}{2 \cdot 9,81} = 39700 \text{ m kg s}^{-2}$$

$$(2a) \quad S = \frac{5 \cdot (54 + 0,5 \cdot 20)}{11074} + 5,23 \cdot 0,0218 + \frac{33000}{11000} \cdot 9,81 = 0,0218$$

$$\frac{0,0218^2}{3} = 0,19 \text{ m}$$

$$K = \frac{39700}{0,36 - 0,19} = 234000 \text{ kg}$$

由此例可見高初速短後退長之火砲加速期中常駐退力之利益甚大。

III. 野戰砲砲架之駐退力及後退長之計算

野戰砲砲架一般如左圖：

此種彈架於發射時能以 c 點之彈簧阻止其運動，故車輪之重量壓於地面，

(13) $(1210,0 + 8120,0) \cdot 00000 \cdot E + 0000 \cdot \frac{00011}{18, e} \cdot 00,0 \cdot S$

$$G \cdot S_0 > P \cdot d + (B + R - G_r \cdot \sin \Sigma) \cdot h + C_r \cdot S_0$$

式中之 s_r 於後退期中向後移動，與後退距離之關係如下：

$$S_r = S_0 - x \cdot \cos \Sigma$$

代入上式，並以 $K_2 = B + R - G_r \cdot \sin \Sigma$ 及 $C_r \cdot S_0 = G_r \cdot S_0$ 代入

$$G \cdot S_0 > P \cdot d + K_2 \cdot h + C_r \cdot \cos \Sigma \cdot x \quad (14)$$

式中 $P \cdot e$ 僅在最初期中作用，暫置勿論，但於減速期中

$$K_2 = \frac{G_r \cdot S_0 - G_r \cdot x \cdot \cos \Sigma}{h} \quad (15)$$

此有效駐退力 K_2 必須在一定之距離內消滅後退餘 E

$$\int_0^E K_2 \cdot dx = E$$

若加速期中起有駐退力作用則上式之 S_0 應以 S_0^{III} 代之。為預防

意外設計時 E 之數值應稍為增加，或以 $(1 + \frac{n}{100}) E$ 代之。

上式可變為

$$\frac{1}{h} \int_{x=S_0}^{x=E} (G \cdot S_0 - G_r \cdot x \cdot \cos \Sigma) dx = E \left(1 + \frac{n}{100}\right) \quad (16)$$

欲求彈架於後退期中安定，此條件必須滿足。

將上式積分後，稍加變化得

$$\frac{2 G \cdot S_0 \cdot E}{C_r \cdot \cos \Sigma} + \frac{\left(1 + \frac{n}{100}\right) E \cdot h + G_r \cdot S_0 \cdot S_0 - C_r \cdot \frac{S_0^2}{2} \cdot \cos \Sigma}{C_r \cdot \cos \Sigma} = 0 \quad (17)$$

$$\xi = \frac{1}{G_r \cdot \cos \Sigma} \left[G_r \cdot S_r \sqrt{(G_r \cdot S_r)^2 - 2G_r \cdot \cos \Sigma} \left[\left(1 + \frac{100}{n}\right) \right] \right]$$

$$E \cdot h + G_r \cdot S_r \cdot S_r - G_r \cdot \frac{S_r^2}{2} \cdot \cos \Sigma \quad (45)$$

解出式 (45) 之 ξ 值，代入式 (44) 中，即可求得 n 之值。

式 (45) 本有二根，若取正號則 $K_2 h = G_r \cdot S_r - G_r \cdot \xi \cdot \cos \Sigma = \sqrt{Q}$

$$K_2 h = G_r \cdot S_r - G_r \cdot \xi \cdot \cos \Sigma = \sqrt{Q}$$

$$n = \frac{100}{E \cdot h} \left[G_r \cdot S_r \cdot (S_r - S_r) - \frac{G_r \cdot \cos \Sigma}{2} (S_r^2 - S_r^2) \right] - 100 \quad (46)$$

已完備之設計可用此式算出 n 。

若加遠期中已有駐退力作用則 (45) (46) 之 E 及 S_r 當以 E' 及 S_r' 代之。

因砲之安定性隨射角 Σ 之增加而急速增加。故大射角時可減短其後退長度，以免砲身觸及地面。

後退長一般有限制，過長使用不便，故增加坐重，務使彈筒內亦多使用數種坐藥量，為增加威力，最大坐藥量要求在射角上有安定性，射角之安定性則須於二號或三號裝藥具有之，惟射表上特別注明，以免誤用。

開脚式砲架之安定性，極易證明於 $\Sigma = 0^\circ$ 砲身位置在正中時為最差，仍可用以上諸式計算，惟 C 點不在駐錘上，而為駐錘在正中垂直面斷上之投影。

以上所述 C 及 D 皆在一水平面上，設駐錘 C 高於車輪則 h 減小， S_r 增大。安定性加大，反之減小。

以上所述可以圖表示之：

C.F. 線之方程式為
$$y = \frac{G \cdot S_0}{\Sigma \cos \alpha \cdot D \Sigma - h \cdot (2 \cdot D) \sqrt{\frac{h \cdot 2 \cdot D}{\Sigma \cos \alpha \cdot D}}} + \frac{G \cdot x \cdot \cos \Sigma}{\Sigma \cos \alpha \cdot D} = \dots$$

(34)
$$y_0 = \frac{G \cdot S_0}{\Sigma \cos \alpha \cdot \frac{r \cdot P}{r} \cdot D - h \cdot 2 \cdot D \cdot \Sigma + h \cdot \Sigma}$$
 ;
$$EF = \frac{G \cdot S_0}{\Sigma \cos \alpha \cdot D} - \frac{G \cdot x \cdot \cos \Sigma}{\Sigma \cos \alpha \cdot D}$$

此線為安定性界限線，將算出之 ξ 、 S_0 及 S_1 繪於圖上，則 CDEF 之面積代表 $(1 + \frac{n}{100}) E$ 。設後退期中各點安定性多餘之百分數相同，則 GH 為一直線，GD = $\frac{100}{100+n}$ CD ; EH = $\frac{100}{100+n}$ (EF)。GH 線各點之縱坐標即為駐退力

$$K_x \cdot (34) \quad 001 - \left[(\xi_2 2 - \xi_1) \frac{\Sigma \cos \alpha \cdot D}{\xi} - (\xi - \xi_1) 2 \cdot D \right] \frac{001}{d \cdot \Sigma} = n$$

在加速期中尚有 P-d 作用，因距離甚短，可簡單求如下：

$$IM = \frac{P_{max} \cdot d}{h}$$

此外 ξ 及 Σ 以符號 ξ 及 Σ 與 ξ 及 Σ 之區別

連接 MNG 之曲線，其縱坐標即表示在加速期中 K_x 之可能最大值。設於此期中即加以駐退力，為方便計由圖中估計平均之 K_m 計算 S_0 、 S_1 、 E 及 ξ 。再繪出 M'N'G' 曲線，一般此曲線 MNG 與曲線相差無幾。由此可見後退力之大小，與加速期中之駐退力之關係。由圖中可見，若將 ξ 及 Σ 之關係，則可得 ξ 及 Σ 之關係。

因
$$K_x = B_x + R_x - G_x \cdot \sin \Sigma$$

而
$$B_x = F_x + H_x$$

大時 Σ 小時 d 則 Σ 與 d 之關係

F_x 為前進機壓力

H_x 為液體駐退機壓力

R_x 可由 (5) 式計算之，惟式中之 $B = H_x + F_x$ 須先估計代入。

由橫坐標 AE 向下繪 VW 其距離為 $G_x \cdot \sin \Sigma$ 。由 VW 向上繪 R_x 得 RST 曲線，再由 RST 向上繪 F_x 得 PQ 曲線，則 MNGH 及 PQ 間之縱坐標即表示各點之液體駐退機壓力 H_x 。

F_x 及 H_x 之計算法詳於下二章詳述之。

第四章 復進器

砲身於後退能完全消滅後須立即復進至原位，俾能作復二次射擊，復進器即爲完成此作用而設，普通有二種：爲彈簧及壓縮空氣，其原理相同，即於後退期中將一部分後退能，於後退完畢後利用之將砲身復進，復進器之主要條件爲：

1. 其初壓力須能於最大射角時阻止砲身後退，且於砲身因震動，或其他原因稍有後退時仍能復進至原位。

$$\text{初壓 } F_0 = G_r (\sin \Sigma_{\max} + \nu \cdot \mu \cdot \cos \Sigma_{\max})$$

$$\nu > 1 \quad \text{一般 } \nu \cdot \mu = 0.3 \sim 0.5$$

2. 貯蓄之後退能，需足夠將砲身在最大射角時復進至原位，爲避免於小射角復進到位時之衝擊，一般皆另設緩衝器。

I. 復進彈簧之設計

在最大射角 Σ_{\max} 後退體復進所須最小工作能

$$A_{\xi} = G_r \xi \sin \Sigma_{\max} + \int_{x=0}^{x=\xi} \mu R_x dx$$

後退間之阻力 R_x 雖非常數，然其主要原因爲後退體在搖架之壓力，故其平均能可假定爲 $\mu \cdot G_r \cdot \cos \Sigma_{\max}$ 。故

$$A_{\xi} \cong G_r \cdot \xi (\sin \Sigma_{\max} + \mu \cos \Sigma_{\max})$$

μ 之值因後退導面之汚滲可能增大，惟計算時 μ 之值最大可取 0.3。

設 \hat{a} 爲初壓縮長

(ck) F_0 爲初壓力

ξ' 爲容許之最大後退長度，較大於後退長 ξ 。

F_c 爲最大壓力，其壓縮長爲 $\frac{1}{2} \xi'$

由上圖 $F_v : (E_c - F_v) = a : \xi'$

$$F_v = F_v \left(1 + \frac{\xi'}{a} \right)$$

彈簧壓縮 $a + \xi'$ 所需之工作為：

$$A = \frac{F_v}{2} (a + \xi') = \frac{F_v}{2} \left(1 + \frac{\xi'}{a} \right) a$$

平簧之工作為 $\frac{F_v}{2} \left(a + \frac{2\xi'}{3} + \frac{\xi'^2}{3a} \right)$ 彈簧之工作為 $\frac{F_v}{2} \left(a + \frac{2}{3} \xi' + \frac{\xi'^2}{3a} \right)$

$$\text{令 } \frac{a}{\xi'} = \delta \quad \text{代} \quad (47)$$

$$\text{彈簧之工作為 } \frac{F_v}{2} \left(\delta + \frac{2}{3} + \frac{1}{3\delta} \right) \quad (48)$$

$$\text{又 } F_v = F_v \left(1 + \frac{1}{\delta} \right) \quad (49)$$

$$\text{故 } \frac{dA}{d\delta} = \frac{F_v}{2} \left(\frac{d}{d\delta} \left(\delta + \frac{2}{3} + \frac{1}{3\delta} \right) \right) = \frac{F_v}{2} \left(1 - \frac{1}{3\delta^2} \right)$$

則 $1 - \frac{\xi^2}{2} = 1 - \frac{\xi^2}{2} \cdot \left(\frac{1}{\xi} \right) \cdot \xi = 1 - \frac{\xi}{2}$ (變異彈簧) 未算長簧彈 II

或 $a = \xi$ 西爾斯圖 . I
 $\delta = 1$

故一定之 F_v 及後退長，於 $a = \xi'$ 或 $\delta = 1$ 時，彈簧所受之總工作最小，因而簧之總重亦為最小。

壓縮 ξ' 所需之工作為

$$A_{\xi'} = \frac{F_v + F_c}{\delta} \cdot \xi' = \frac{F_v}{\delta} \left(2 + \frac{\xi'}{a} \right) \xi' \quad (50)$$

若以 $a = \xi'$ 代入則

$$A_{\xi'} = 1,5 F_v \cdot \xi' = 1,5 \xi' \cdot G_r \left(\sin \sum_{max} + \mu \cos \sum_{max} \right) \quad (51)$$

將此式改寫為

$$A_{\xi'} = \xi' \cdot G_r \left[\left(\sin \sum_{max} + \mu \cos \sum_{max} \right) + 0,5 \frac{F_c}{F_v} \sin \sum_{max} + \mu \cos \sum_{max} \right] \quad (52)$$

而復進所需工作為

$$A_{\xi'} \geq \xi' \cdot G_r \left(\sin \sum_{max} + \mu \cos \sum_{max} \right)$$

故若 $0,5 \sin \sum_{max} + \mu \cos \sum_{max} (1,5 v - 1) \geq 0$

$a = \xi'$ 之復進簧足以完成此工作。

設 F_c 式中之 $v - \mu \geq 0,3$ 及 $\mu < 0,3$ ；則初壓為 F_v 及 $a = \xi'$ 之彈簧能完成各射角之復進工作。

若 $a < \xi'$ ，則相同之 F_v ，其 F_c 之值較大，故 ξ' 壓縮長中之工作亦較大。設彈簧之裝安長度為 1，則 $1 - \xi'$ 為壓縮長度，

$$\lambda = \frac{1 - \xi'}{\xi'} = \frac{1}{\xi'} - 1 \quad (52)$$

II. 彈簧計算法 (柱形螺旋彈簧)

1. 圓形斷面

d 圓形斷面鋼條之直徑 cm

圓形斷面鋼條半徑 cm

 τ 容許內力 kg/cm²G 剪彈性率 kg/cm²

n 簧圈數

(03) A 壓至最大壓力 F_0 之總工作 cm kg

$$(10) \quad F_0 = \frac{\pi}{16} \cdot \frac{d^3}{c \cdot r} \cdot k \cdot \left(\frac{r}{d} \right)^2 \cdot n \cdot \tau \quad (53)$$

$$f = n + \frac{1}{4} = \frac{64 n r^3}{d^4} \cdot \frac{F_0}{G} \quad (54)$$

k $\left(\frac{r}{d} \right)$ 之值可自下曲線圖求得：

第十圖

由上二式得

$$d = \sqrt[3]{\frac{r \cdot F_0 \cdot k \left(\frac{r}{d} \right)}{0,19638 \cdot \tau}} = 1,72 \sqrt[3]{\frac{r \cdot F_0 \cdot k \left(\frac{r}{d} \right)}{\tau}}$$

$$n = \frac{d \cdot G \cdot (a + \xi') \cdot \kappa \left(\frac{r}{d}\right)}{4 \pi r^2 \tau} = \frac{1 - \xi'}{d} \quad (56)$$

$$1 - \xi = \xi \lambda = nd = \frac{r^2 F_e \frac{2}{3} \kappa \frac{2}{3} \left(\frac{r}{d}\right)}{0,19685 \frac{2}{3} \tau \frac{2}{3}} \cdot \frac{G(a + \xi') \cdot \kappa \left(\frac{r}{d}\right)}{4 \pi r^2 \tau} \quad (57)$$

故
$$r = \sqrt[4]{\frac{(a + \xi')^3 F_e^2 G^3 \cdot \kappa^5 \left(\frac{r}{d}\right)}{\xi^3 \cdot \lambda^3 \cdot \tau^3 \cdot 76,51}}$$

$$\frac{(a + \xi')^3}{\xi^3} = \left(\frac{a_1}{\xi'} + 1\right)^3 = (1 + \delta)^3$$

又
$$F_e = F_v \left(1 + \frac{1}{\delta}\right)$$

故
$$r = \sqrt[4]{F_v^2 \left(\frac{G}{\lambda}\right)^3 \frac{1}{0,19685} \cdot \frac{1}{76,51} (1 + \delta)^3 \cdot \left(1 + \frac{1}{\delta}\right)^2 \cdot \kappa^5 \left(\frac{r}{d}\right)}$$

即
$$\sqrt[4]{\frac{1}{8} (1 + \delta)^3 \left(1 + \frac{1}{\delta}\right)^2} = \sqrt[4]{\frac{1}{8} \cdot \frac{(1 + \delta)^5}{\delta^2}} = \theta \quad (58)$$

$$\sqrt[4]{\frac{100000^4}{\tau^5}} = \theta \quad (59)$$

$$\sqrt[4]{\frac{1}{9,66875}} = 0,5687$$

$$\sqrt[4]{\kappa^5 \left(\frac{r}{d}\right)} = \sigma \left(\frac{r}{d}\right) \quad (60)$$

由表 1 查得 σ 值 (60) 由表 1 查得 σ 值

$$r = \frac{0,5687 \cdot \theta \cdot a}{100000} = \sigma \left(\frac{r}{d}\right) \cdot \sqrt[4]{F_v^2 \left(\frac{G}{\lambda}\right)^3} \quad (61)$$

$\theta, \sigma, \tau = \left(\frac{r}{d}\right)$ 可由下表及圖求得之:

(32)

$$\theta = \sqrt{\frac{1}{g} \cdot \frac{(1+\delta)^5}{\delta^2}} \quad \sigma = 100000 \sqrt{\frac{1}{r^5}}$$

$\theta = \frac{a}{\xi}$	θ	$\lg \theta$	$\frac{r}{b}$	σ	$\lg \sigma$
1.5	1,526	0,18261	5000	2,378	0,3763
1,25	1,466	0,16600	5500	2,251	0,3246
1	1,414	0,15052	6000	1,894	0,2773
$\frac{3}{8}$	1,379	0,13928	6500	1,718	0,2338
			7000	1,592	0,1936
			7500	1,438	0,1562
			8000	1,322	0,1211
			8500	1,225	0,0882
			9000	1,141	0,0578
			9500	1,066	0,0279
			10000	1,000	0,0000
			10500	0,9408	-0,0235
			11000	0,8877	-0,0482
			11500	0,8397	-0,0741
			12000	0,7962	-0,1010
			12500	0,7566	-0,1289
			13000	0,7204	-0,1576

(33)

(34)

第十一圖

射擊時 F, l, ξ, G 及 r 為已知。故 $\lambda = \frac{1}{5r\xi\delta} - 1$ 為已知 r 極大 δ 之值，並值
 將 $\frac{r}{d}$ 由表及圖求出 θ, σ 及 $\left(\frac{r}{d}\right)$ 代入 (61) 算出 r ，再由 (55) 算出 d ，
 以此算出之 r/d 求 $\left(\frac{r}{d}\right)$ 覆算至前後符合為止。由 (56) 算出 n 。

若 l 為未知，而已知 r 則可由 (55) 式算出 d ，復算數次後得準確之 d ，再

(55) 式

$$\left(\frac{r}{\lambda}\right)^2 \cdot \left(\frac{r}{b}\right) = \dots$$

$$n = \frac{d \cdot G \cdot \xi' (\delta + 1) K \left(\frac{r}{d} \right)}{4 \pi r^3 \tau}$$

求出 n $l = n P + \xi'$

2. 長方形斷面

長方形斷面柱形螺旋彈簧之內力甚為複雜，近年之研究結果，一般可用下兩式計算之：

$$F_c = \frac{b \cdot h \sqrt{b h}}{2 r \psi \left(\frac{h}{b} \right)} \cdot \tau \quad (62)$$

$$a + \xi' = \frac{8 F_c r^3 n}{h^2 b^2 G} \cdot \nu \left(\frac{h}{b} \right) \quad (63)$$

$$\frac{h}{b} = \gamma > 1$$

本章所討論者如下圖所示，小邊平行於彈簧軸。

第十二圖

$\psi \left(\frac{h}{b} \right)$ 及 $\nu \left(\frac{h}{b} \right)$ 之值由附圖 (13) 及 (14) 求之，其值與 $\frac{r}{h}$ 亦有關係。

彈簧壓縮至 F_c 之總工作 $A = \frac{F_c}{2} \cdot (a + \xi')$ ；由 (62) (63)

$$A = \frac{b h r n \tau^2}{G} \cdot \frac{\nu \left(\frac{h}{b} \right)}{\psi^2 \left(\frac{h}{b} \right)} \quad (64)$$

又由 (62) 以 γ 代 $\frac{h}{b}$ 得

$$h = \sqrt{\frac{1}{\gamma}} \sqrt[3]{\frac{F_c \cdot 2 r \cdot \psi(\gamma)}{\tau}}$$

以 $\Phi(\gamma) = \sqrt[3]{2} \sqrt{\frac{1}{\gamma}} \sqrt[3]{\frac{F_c}{\tau}}$ 代入

$$h = \Phi(\gamma) \sqrt[3]{\frac{F_c \cdot \tau}{\tau}} = \Phi(\gamma) \sqrt[3]{\frac{F_c}{\tau} \cdot F_v \left(1 + \frac{1}{\delta}\right)} \quad (65)$$

$\Phi(\gamma)$ 可由附圖 (15) 求得之。

又由 (64) 以 $b a = 1 - \xi = \xi \cdot \lambda$ 代入

$$A = \tau^2 \cdot \frac{h r \xi \lambda}{G} \cdot \frac{\psi(\gamma)}{\psi^2(\frac{\gamma}{\delta})} \quad (66)$$

$$\Psi(\gamma) = \frac{\psi(\gamma)}{\psi(\frac{\gamma}{\delta})} \text{ 代入}$$

$$h = \Psi(\gamma) \frac{G A \tau}{r \tau^2 \lambda \xi} \quad (67)$$

由 (65) 以 (66),

$$r^4 = \frac{\Psi^3(\gamma)}{\Phi^3(\gamma)} \left(\frac{G A}{\lambda \xi} \right)^3 \cdot \frac{1}{F_c} \cdot \frac{1}{\tau^5}$$

$$\text{以 } \sqrt[4]{\left[\frac{\Psi(\gamma)}{\Phi(\gamma)} \right]^3} = \kappa(\gamma)$$

$$\text{則得 } \frac{1}{\tau^4} A \lambda \xi = \frac{F_c}{2} \left(\frac{1}{\delta} + 2 + \frac{1}{\delta} \right)^{\frac{1}{2}}$$

$$F_c = F_v \left(1 + \frac{1}{\delta} \right) \text{ 代入}$$

$$\kappa(\gamma) = \sqrt[4]{\left(\frac{G}{\lambda} \right)^3 \frac{F_v^2}{8} \frac{\left(\frac{1}{\delta} + 2 + \frac{1}{\delta} \right)^{\frac{1}{2}}}{\left(\frac{1}{\delta} + \frac{1}{\delta} \right)^{\frac{1}{2}} \tau^5}}$$

$$\text{因 } \sqrt[4]{\frac{1}{8} \cdot \frac{(\delta+2+\frac{1}{\delta})^3}{(1+\frac{1}{\delta})}} = \sqrt[4]{\frac{1}{8} \cdot \frac{(\delta+1)^3}{\delta^2}} = \theta$$

$$\sqrt[4]{\frac{100000^4}{\tau^5}} = \alpha$$

$$r = \frac{\alpha(\gamma)\theta\alpha}{100000} \cdot \sqrt[4]{F_v^2 \left(\frac{G}{\lambda}\right)^3} \quad (67)$$

θ, α 見前表; $\Psi(\gamma)$ 及 $\alpha(\gamma)$ 見圖 16 17. r 求出後由 (66) 求 h . 圖 16

$$n = \frac{1-\xi}{b}$$

計算時先選定 $\gamma = \frac{h}{b}$, 估計 $\frac{r}{h}$ 求出 α 及 Ψ , 算出 r 及 h . 再復算至滿意後符合為止. 其他如圓形斷面算法。

若算出之彈簧不甚適合, 則需另假定 γ , 求出合用之尺寸。

若已知 r 則可由 (66) 求出 h , 由假定之 γ 求出 b , 再由 (67) 求出 α , 算出 l .

3. 彈簧之重量

彈簧之重量 G_l 可以所能受之最大工作 A 表示之。

a. 圓形斷面:

$$G_l = 2 r \pi \cdot \frac{d^2 \pi}{4} \cdot n \gamma \quad (68)$$

γ 彈簧材料之比重。

$$A = \frac{1}{2} (a+\xi') \cdot F_v = \frac{\pi^2}{8} \cdot \frac{n r d^2 r^2}{G k^2 \left(\frac{r}{d}\right)} \quad (69)$$

$$\text{故 } G_l = 4 \cdot k^2 \left(\frac{r}{d}\right) \frac{G A}{\tau^2} \cdot \gamma \quad (70)$$

b. 長方形斷面：

$$G_f = 2\tau \cdot \pi \cdot h \cdot b \cdot n \quad \gamma = 2\tau \cdot \pi \cdot h \cdot \lambda \frac{b}{n} \cdot \gamma$$

$$= 2\pi \cdot \Psi \left(\frac{h}{b} \right) \cdot \frac{G \cdot A}{r^2} \cdot \gamma \quad (71)$$

由(70)及(71)可知同樣條件下，圓形斷面之彈簧重量較長方形斷面者輕。 τ 之影響甚大，故材料之選擇尤當注意。以 $\tau = 10000 \text{ kg/cm}^2$ 之簧重 G_{f0} 比較如下：

$\tau =$	10000	9000	8000	7000	6000	5000
$\frac{G_f}{G_{f0}} =$	1.0	1.235	1.56	2.01	2.78	4.00

4. 彈簧中徑之討論

彈簧之外徑與搖架尺寸有直接關係，即與搖架及小架之重量發生關係。其尺寸宜盡力求其小，茲將有關各點討論如下：

圓形斷面 $r = \frac{0.5687 \cdot \theta \cdot a}{100000} \cdot \left(\frac{r}{d} \right)^4 \cdot \sqrt{F_v^2 \left(\frac{G}{\lambda} \right)^3}$

長方形斷面 $r = \frac{\Psi(\frac{h}{b}) \theta \cdot a}{100000} \cdot \sqrt{F_v^2 \left(\frac{G}{\lambda} \right)^3}$

a. 預壓長 a 及後退量 δ 之者係：

$$\frac{a}{\delta} = \delta \cdot \text{上二式中之 } \theta$$

$$\theta = \sqrt[4]{\frac{1}{8} \cdot \frac{(\delta+1)^5}{0.5687^2 \cdot 10^8 \cdot d}}$$

θ 為最小若 $\frac{d \left[\frac{(\delta+1)^5}{\delta^2} \right]}{d \delta} = 0$

$$\delta = \frac{2}{3}$$

故 $\delta = \frac{F}{k}$ 應為最小，設此為 r_{min} 。以比較其他測值之 r ，則

$$\delta = \frac{F}{k} = \frac{F \cdot d \cdot n \cdot G}{8 \cdot E \cdot D^3}$$

$$(15) \quad \frac{r}{r_0} = \frac{1.012}{1} \cdot \frac{1}{\sqrt{1.002}} \cdot \frac{1.025}{1} = 1.107$$

二、 δ 自 $\frac{1}{2}$ 為宜，重量方面 $\delta = 1$ 為最好，故 $\delta = 1$ 為最好。

b. 裝妥長度 l 及後退長 ξ 之關係：

$\lambda = \frac{l}{\xi} - 1$ ，故 $\frac{l}{\xi}$ 之值宜大，茲以 $\lambda = 1$ 入之中半徑 r_0 為標準比較如下：

$$\lambda \quad 0.4 \quad 0.6 \quad 0.8 \quad 1 \quad 1.2 \quad 1.4$$

$$\frac{r}{r_0} \quad 1.99 \quad 1.47 \quad 1.18 \quad 1 \quad 0.872 \quad 0.778$$

ξ 入之值均已知，故 l 之值若設計許可，以大為宜。

c. $h/b = \delta$ 之關係：

由 $\alpha(\gamma)$ 即線可見 $\gamma = 1$ 時 r 為最大，故方形斷面不甚適宜，彈簧外徑為 $2r+h$ ， r 縮小較 h 增為速，故 h/b 宜盡量選大。

d. τ 之關係：

$$\sigma = \sqrt{\frac{100000^2}{\tau^2}} \quad \text{茲以 } \tau = 5000 \text{ kg/cm}^2 \text{ 之 } r_0 \text{ 比較如下：}$$

$$\tau \quad 5000 \quad 6000 \quad 7000 \quad 8000 \quad 9000 \quad 10000 \quad 11000 \quad 12000 \quad 13000$$

$$\frac{r}{r_0} \quad 1 \quad 0.8 \quad 0.657 \quad 0.556 \quad 0.482 \quad 0.422 \quad 0.374 \quad 0.336 \quad 0.304$$

故 τ 之影響甚大，彈簧材料必需選擇較好者。

5. 單獨彈簧之設計總結

$$F_r = G_r(\sin \Sigma_{max} + v \cdot p \cdot \cos \Sigma_{max})$$

$$v \cdot p = 0.3 \sim 0.5$$

$$\lambda = \frac{l}{\xi} - 1$$

λ 之值宜大，至少 > 0.4

$$\delta = \frac{a}{\xi} = 1 \sim \frac{1}{2}$$

若有特殊原因 δ 可大於 1。

圓形斷面：

$$\begin{cases} r = \frac{0.6637 \rho a}{100000} \cdot \sigma \left(\frac{r}{d} \right) \cdot \sqrt{F_v^2 \left(\frac{G}{\lambda} \right)^3} \\ d = 1.72^3 \sqrt{\frac{r}{\tau} \cdot F_v \left(1 + \frac{1}{\delta} \right) \cdot \kappa \left(\frac{r}{d} \right)} \end{cases}$$

長方形斷面：

$$\begin{cases} r = \frac{\alpha(\gamma) \rho \cdot a}{100000} \cdot \sqrt{F_v^2 \left(\frac{G}{\lambda} \right)^3} \\ h = \Psi(\delta) \frac{G A}{r^2 \lambda \xi} \\ \gamma = \frac{h}{b} \end{cases}$$

函數 $n = \frac{\xi \cdot \lambda}{b}$

所有長度單位皆為 cm。

τ 為材料容許內力，可於鋼料說明書上查出，估算可用 7000 kg/cm^2 。

G 一般為 8300 kg/cm^2 。

III. 複套彈簧之設計

單獨彈簧之尺寸，在復退過重時，即成其外力太大，故有採用複套彈簧之必要，常用之複套彈簧有二種：等厚縮長式及等脹方式 (EleskoFiedern)，二種皆為不同中徑之數彈簧互套而成。惟前者構造較簡，所有彈簧之前端，或後端皆頂於同一座上。而後者各簧間加以間隔管，各簧之後端間接壓於其外簧之前端。

詳圖：

第十八圖

1. 等壓縮長式複套彈簧

：圖例 式異

爲了用上方便計各簧之預壓長相等，總長亦相等。各簧之材料相同，故各簧之最大內力應相等。

由 (61) 及 (67)，設 r_1, r_2, r_3, \dots 爲自然型內各簧之半中徑，則

$$r_1 : r_2 : r_3 \dots = \sqrt{F_1} : \sqrt{F_2} : \sqrt{F_3} \quad (72)$$

F_1, F_2, F_3 爲各簧之預壓力。假定各簧之斷面形狀相似。(實際上常用圓形或正方形之斷面。) 則

$$h_1 : h_2 : h_3 \dots = \sqrt{F_1} : \sqrt{F_2} : \sqrt{F_3} \quad (73)$$

因自 (65)

$$\frac{h_1 r_1^3}{h_2 r_2^3} = \sqrt{\frac{r_1^2}{r_1 F_2}} = \sqrt{\frac{F_1 F_1^{1/2}}{F_2 F_2^{1/2}}} = \sqrt{\frac{F_1}{F_2}}$$

又自 (65) 式

$$\frac{h_1}{r_1} = \Phi(\gamma) \sqrt{\frac{F_1(1+1/\delta)}{\tau r_1^2}}$$

$$= \Phi(\gamma) \sqrt{\left(\frac{1+1/\delta}{\tau} \cdot \frac{1}{[\gamma^4(\gamma)\theta^4 \cdot \left(\frac{G}{\kappa}\right)^4 \cdot \frac{1}{\tau^5}]^{1/2}} \right)}$$

將 (58) 之 θ 代入得

$$\frac{h_1}{r_1} = \Phi(\gamma) \sqrt{\frac{2}{\delta+1}} \cdot \frac{\lambda \cdot \tau}{G} \cdot \sqrt{\frac{1}{\kappa^2(\gamma)}} = \alpha \sqrt{\frac{\tau \cdot \lambda}{G}} \quad (74)$$

$$\alpha = \Phi(\gamma) \sqrt{\frac{2}{\delta+1}} \cdot \sqrt{\frac{1}{\kappa^2(\gamma)}} \quad (75)$$

$\delta = 0.7 \tau, Y-1 = \left(\frac{\gamma}{\tau} + 1\right)$

使各簧之断面相似即 $\gamma = \frac{h}{b}$ 相等，預壓長相等，則 δ 相等。

$$\frac{h_1}{r_1} = \frac{h_2}{r_2} = \frac{h_3}{r_3} \dots = \alpha \sqrt{\frac{\tau \cdot \lambda}{G}} \quad (76)$$

圓形断面由 (55) 及 (61) 可得

$$\frac{d_1}{r_1} = \alpha \sqrt{\frac{\tau \cdot \lambda}{G}} \quad (77)$$

$$\alpha = 1.72 \sqrt{\frac{\tau}{K}} \sqrt{\frac{2}{\delta+1}} \cdot \sqrt{\frac{1}{\left[0.5687 \sigma \left(\frac{\tau}{d}\right)\right]^2}} \quad (78)$$

設 $r_1 \cdot h_2$ 為第二及第三簧之間隙， τ 之值可定為 0.2~0.3 由下圖

第十九圖

$$r_3 + \frac{h_3}{2} + h_2(\tau + 0.5) = r_2 \quad (79)$$

將 (76) 代入得

$$r_2 \frac{h_3}{h_2} + \frac{1}{2} \left(r_2 \frac{h_3}{h_1} \right) = \sqrt{\frac{\tau \lambda}{G} + r_2} = \sqrt{\frac{\tau \lambda}{G} (\tau + 0.5)} = r_2$$

$$\frac{1}{2} = \sqrt{\frac{\tau \lambda}{G}} = Y \tag{80}$$

$$\sqrt{\frac{F_3}{F_2}} \left(1 + \frac{Y}{2} \right) = 1 - Y (\tau + 0.5) \tag{81}$$

$$\frac{1}{2} = \sqrt{\frac{F_3}{F_2}} = \sqrt{\frac{F_2}{F_1}} = \dots = Z \tag{82}$$

$$Z = \frac{1 - Y (\tau + 0.5)}{1 + \frac{Y}{2}} \tag{83}$$

$$F_n = F_1 + F_2 + F_3 + \dots = F_1 (1 + Z^2 + Z^4 + Z^6 + \dots) \tag{84}$$

四重複套簧	$F_1 = \frac{F_v}{1 + Z^2 + Z^4 + Z^6}$	}	$F_2 = Z^2 F_1$
三重複套簧	$F_1 = \frac{F_v}{1 + Z^2 + Z^4}$		$F_3 = Z^2 F_3$
二重複套簧	$F_1 = \frac{F_v}{1 + Z^2}$		$F_4 = Z^2 F_3$
			$F_n = F_1 + F_2 + F_3 + \dots$

計算時可由 (80) 及 (83) 求出 Y 及 Z，再由上式求 F_1, F_2, \dots ，各簧之預壓力求出後，即可用 II 節算各簧之尺寸。

3. 等壓力式複套彈簧

此種複套彈簧各簧之預壓力相等皆為 F_v ，惟各簧之壓縮長度 $\xi_1, \xi_2, \xi_3, \dots$ 不等，然 $\xi_1 + \xi_2 + \xi_3 + \dots = \xi$ ，在設計時各簧之最大內力自應求其相同。

因理論上不能求得合用之算式，設計時可如下計算之：

假定為內層彈簧之半中徑 r_2 ，長方形斷面

$$\begin{aligned} r_3 &= \frac{\theta \cdot \kappa(\gamma) \cdot a_3}{100000} \sqrt[4]{\frac{F_v^2 \cdot G^3}{\lambda_3^3}} \\ \lambda_3 &= \frac{1}{\xi_3} - 1 = \sqrt[3]{\frac{F_v^2}{r_3^4} \left(\frac{\theta \cdot \kappa(\gamma) \cdot a_{31}}{100000} \right)^4 \cdot G^3} \\ \xi_3 &= \frac{1}{1 + \sqrt[3]{\frac{F_v^2}{r_3^4} \left(\frac{\theta \cdot \kappa(\gamma) \cdot a_{31}}{100000} \right)^4 \cdot G^3}} \end{aligned} \quad (85)$$

圓形断面:

$$\xi_3 = \frac{1}{1 + \sqrt[3]{\frac{F_v^2}{r_3^4} \left(0,5687 \theta \cdot \sigma \left(\frac{r}{G} \right) \cdot a_3 \right)^4 \cdot G^3}} \quad (86)$$

假定 r_3 或 a_3 之值，即可算出 ξ_3 及 h_3 或 d_3 。

假定第二層簧之強度相同， $a_2 = a_3$ ，就需要之圓徑估算 r_2 與前同樣可求出：

長方形断面

$$\xi_2 = \frac{1}{1 + \sqrt[3]{\frac{F_v^2}{r_2^4} \left(\frac{\theta \cdot \kappa(\gamma) \cdot a_2}{100000} \right)^4 \cdot G^3}}$$

圓形断面

$$\xi_2 = \frac{1}{1 + \sqrt[3]{\frac{F_v^2}{r_2^4} \left(0,5687 \theta \cdot \sigma \left(\frac{r}{G} \right) \cdot a_2 \right)^4 \cdot G^3}}$$

h_2 自易求出。

最外層簧之 $\xi_1 = \xi - \xi_3 - \xi_2$ ，算出 r_1 則

長方形断面

$$r_1 = \frac{\theta \cdot \kappa(\gamma) \cdot a_1}{100000} \sqrt[4]{\frac{F_v^2 \cdot G^3}{\lambda_1^3}}$$

圓形斷面

$$r_1 = \frac{0.5687 \theta \cdot \sigma \left(\frac{r}{d}\right) \alpha_1}{100000} \sqrt[4]{F_v^2 \frac{G^3}{\lambda_1^3}}$$

如 r_2 估算需要之 r_1 ，代入上式算出 α_1 ，及 τ_1 。此 τ_1 之值最好與 τ_3 相近。若 τ_1 小於或大於 τ_3 ，則必需再假定較小或較大之 τ_3 覆算。

若初壓力相同，裝妥長度相等，內外徑之限制相同，則此式彈簧受內力最小。或內力相等則裝妥長度可為最小。故等壓力式複套彈簧，為常用之良好設計。

IV. 氣體復進器

氣體復進器之一般原理，為以壓縮空氣或其他氣體代替彈簧。定量之氣體貯於一容室內，用隨砲身後退之活塞，直接或間接壓縮之。為易於氣密及設計上之方便，活塞與氣體每不直接接觸，而以液體為傳達壓力之中間物。此液體亦有與氣體直接接觸或隔以空氣層。惟計算時方法完全相同。下為復進器之簡圖。

第二十圖

V_0 為砲身在射擊位置時之氣體容積 m^3

q_0 壓縮氣體游塞之面積 m^2

ξ_1 游塞於砲身後退完畢之行程 m

F_{v1} 為氣體之總初壓力

砲身後退完畢時之氣體容積為

$$V_{\xi} = V_0 - q_0 \cdot \xi_1$$

砲身後退長為 ξ ，故 ξ_1 / ξ 為游器與連於砲身之活塞之行程比，故

$$F_{v1} = -\frac{\xi}{\xi_1} \cdot F_v$$

氣體之壓縮及膨脹之時間甚短，故近於斷熱變化。空氣之斷熱變化式為

$$V^{1.41} p = K$$

等溫變化式為

$$V p = K$$

實際應用之式為

$$V^{1.3} p = K \quad (87)$$

一般此式可得為

$$\left(\frac{V\xi}{V_0}\right)^{\kappa} = \frac{p_0}{\rho\xi} = \frac{1}{m}$$

或
$$V\xi = \frac{V_0}{m^{\frac{1}{\kappa}}}$$

m 為空氣之終壓及初壓比， κ 之值可以 1.41、1.1、1.3 及 1.25 代入。上式可化為

$$V_0 = \frac{q_0 \cdot \xi_1}{1 - m^{\frac{1}{\kappa}}} \quad (88)$$

因 $q_0 \cdot p_0 = F_{v1}$

$$V_0 = \frac{F_{v1} \cdot \xi_1}{p_0 \left(1 - \frac{1}{m^{\frac{1}{\kappa}}}\right)} \quad (89)$$

命
$$\Delta = \frac{1}{1 - \frac{1}{m^{\frac{1}{\kappa}}}} = \frac{m^{\frac{1}{\kappa}}}{m^{\frac{1}{\kappa}} - 1} \quad (90)$$

A之流如下表：

m	$\kappa=1.41$	$\kappa=1.3$	$\kappa=1.25$	$\kappa=1$
1,5	4,02	3,73	3,62	3
2	2,58	2,42	2,35	2
3	1,85	1,75	1,71	1,5
4	1,6	1,52	1,49	1,33
5	1,47	1,41	1,38	1,25
6	1,39	1,34	1,31	1,2
7	1,33	1,29	1,27	1,167
8	1,3	1,25	1,23	1,143

$$V_0 = \frac{\Delta \cdot F_v \cdot \xi_1}{P_0} = \frac{\Delta \cdot F_v \cdot \xi}{P_0} \quad (91)$$

單位： V_0 為 m^3 ， P_0 為 kg/m^2 ， ξ 為 m ， F_v 為 kg

炮身復還所需工作為

$$A\xi = G_r \cdot (\sin \Sigma_{max} + \mu \cos \Sigma_{max}) \cdot \xi = F_1 \xi \quad (92)$$

空氣於壓縮時所做之工作，隨熱變化時為

$$A = \frac{P_0 \xi \cdot V_0 \xi - n_0 \cdot V_0}{\kappa - 1} = \frac{P_0 V_0}{\kappa - 1} \left[m^{\frac{\kappa-1}{\kappa}} - 1 \right] \quad (m \text{ kg}) \quad (93)$$

$$\text{故 } V_0 = \frac{A}{P_0} \cdot \frac{\kappa - 1}{m^{\frac{\kappa-1}{\kappa}} - 1} \quad (m^3) \quad (94)$$

等溫變化時為

$$A = P_0 \cdot V_0 \cdot \ln \frac{P_0 \xi}{P_0} \quad (95)$$

$$V_n = \frac{A}{P_0} \cdot \frac{1}{\ln \frac{P_0^{\frac{\kappa}{m}}}{P_0}} \quad (96)$$

由初壓力 F_v 之條件求得之 V 。為 (91) 式，代入
斷熱變化

$$\frac{A\xi}{P_0} \cdot \frac{\kappa-1}{m \frac{\kappa}{m} - 1} = \Delta \cdot \frac{F_v \cdot \xi}{P_0} \quad (97)$$

等溫變化

$$\frac{A\xi}{P_0} \cdot \frac{1}{\ln \frac{P_0^{\frac{\kappa}{m}}}{P_0}} = \Delta \cdot \frac{F_v \cdot \xi}{P_0} \quad (98)$$

以 $A\xi = F_v \cdot \xi$ 代入得

等熱變化

$$\frac{F_n}{F_v} = \Delta \cdot \frac{m \frac{\kappa-1}{m} - 1}{\kappa-1} = \beta_n \quad (99)$$

等溫變化

$$\frac{F_n}{F_v} = \Delta \cdot \ln m = \beta_i \quad (100)$$

β_n 及 β_i 可列表如下：

$m =$	1,5	2	3	4	5	6	7	8
$\beta_n =$	1,228	1,4	1,70	1,94	2,14	2,32	2,47	2,64
$\beta_i =$	1,217	1,39	1,65	1,85	2,01	2,15	2,27	2,38

由必需之初壓 F_v (91) 及復進工作 F_n 法 (92) 之條件，復進氣缸之終壓及
初壓比 β 至少要滿足 (99) 或 (100) 式。若 β 較大則復進工作，有餘額。

下圖 abce 之面積與 $F_n \cdot \xi$ 相等

第廿一圖

$$\frac{P\xi}{\gamma} \cdot m = \frac{bc}{ad}$$

此 m 之值可滿足 $\frac{F_n}{F_v} = \beta$ 。

若 $P\xi$ 較小則 $m = \frac{bc}{\frac{P\xi}{\gamma}}$ 較大，abc'd 之面積即大於 $F_n \cdot \xi$ ，工作即有餘剩。

因 $F_v = G_v(\sin \Sigma_{max} + \nu \cdot \mu \cdot \cos \Sigma_{max})$ 要 $F \cdot \xi = A\xi = G_v(\sin \Sigma_{max} + \mu \cos \Sigma_{max}) \cdot \xi$

故 $F_v > F_n \quad (\nu > 1)$

即實際上 $ac > F_n$ 如上圖，具此初壓之壓縮空氣其貯存之工作足復還本身而有餘。計算所示之面積即為多餘之工作。故 m 之值不受限制。m 之值大則 V_c 可愈小，惟終壓不能太高，故 m 之值一般為 2-3。

m 之值若大大，除終壓太高外，溫度亦太高，例如 $m=8$

$$\left(\frac{P\xi}{P_0}\right)^{\frac{K-1}{\gamma}} = m^{0.29} = 8^{0.29} = \frac{T\xi}{T_0}$$

$$T\xi = 1.88 T_0$$

若 $T_0 = 273^\circ + 17^\circ = 290$ 則 $T\xi = 531^\circ = 273^\circ + 258^\circ$ 即 $353^\circ C \cdot m = 2$ 則為 $81^\circ C$ 。

空氣之壓力受設計上之限制不能太高，固定鋼架之能常加檢查者可用 $D_{\xi} = 50 \sim 100 \text{ kg/cm}^2$ 移動鋼架如要輕便者 $D_{\xi} = 15 \sim 30 \text{ kg/cm}^2$ 為妥。此該鋼架初

圖用手搖打氣機較易工作。

氣體便通器設計總括如下：

$$F_v = G_r (\sin \sum_{max} + \nu \cdot \rho \cdot \cos \sum_{max}) \cdot \nu \cdot \rho > 0,3$$

固定機架

$$P_0 = 500000 \sim 1000000 \text{ kg/m}^2$$

移動機架

$$P_0 = 150000 \sim 300000 \text{ kg/m}^2$$

$$V_0 = \Delta \cdot \frac{F_v \cdot \xi}{P_0} \text{ m}^3 \quad (\xi \text{ m})$$

$$m = 3 \sim 3 \text{ 即 } \Delta = 3 \cdot 42 \sim 1,75$$

$$P_x = P_0 \left(\frac{V_0}{V_x} \right)^{1,3}$$

$$V_x = V_0 - x \cdot q = V_0 - x \cdot \frac{F_v}{P_0}$$

$$P_x = \left(\frac{\Delta \cdot \xi}{\Delta \cdot \xi - x} \right)^{1,3} \cdot P_0 \quad (101)$$

$$F_x = \left(\frac{\Delta \cdot \xi}{\Delta \cdot \xi - x} \right)^{1,3} \cdot F_v \quad (102)$$

$x = 1, 3, 5 \dots$ 為後退距離 m, ρ

第五章 駐 退 機

砲架之駐退機皆為推出式液體駐退機，主要原理為在 滿裝液體之筒內設一筒，動之活塞，此二件一向定於砲架，他則連於砲身，而筒之活塞口，俾活塞移動時液體能自活塞之一邊經開口逸向他邊，當液體被迫以高速度穿過開口時，活塞之一邊必需有高壓力存在，方能予靜止之液體以加速度，此壓力即非專為使退之砲身，減低其後退速度。活塞及軍筒等亦有相當之摩擦力，惟一般比較甚小，可略去不計。

砲身後退時因加壓液體面漸失其後退機，以高速度逸出筒口之液體則捕於筒壁及已在之液體而喪失其速度，其動能全變為熱，故駐退機之溫度增高。

駐退筒壁除受壓力外，尚有由漏口射出液體之後壓力，此液體之速度往往在 300 m/s 以上，故設計時當加注意。

當活塞推向筒外抽出時，筒內之體積加大，故活塞後方可有真空，其體積與抽排部分之體積相等，液體之加速力因而稍低，同時活塞區域一方受大氣壓力，故駐退力稍增，惟二者之增減皆可略去不計。

如前所述後退體之重量宜大，故一般宜將駐退筒連於砲身，固定砲架則不必考慮此點。

I. 液體之駐退力 H_x 及漏口面積 q_{lx}

活塞之速度為 V_x ，其有效面積為 Q_r ，若移動距離為 dx 則壓出漏口之液體容積為 $Q_r \cdot dx$ 。設 γ 為液體比重則其質量為

$$\frac{Q_r \cdot dx \cdot \gamma}{g}$$

設 q_r 為漏口總面積則液體經過漏口之速度為

$$v_x = V_x \cdot \frac{Q_r}{q_{lx}}$$

液體之速度由 0 增至 V_x 增加之動能為

$$\frac{\rho \cdot Q_r \cdot dx}{2} \cdot \left(V_x^2 \cdot \frac{Q_r^2}{q_{rx}^2} \right)$$

此動能必與液體壓力 H_x 在 dx 距離之工作相等

$$H_x dx = \frac{Q_r^3 \cdot \gamma}{2g} \cdot \frac{V_x^2}{q_{rx}^2}$$

$$H_x = \frac{Q_r^3 \cdot \gamma}{2g} \cdot \frac{V_x^2}{q_{rx}^2}$$

液體以高速度噴出，必發生收縮現象，故實際之出口面積為 $a \cdot q_{rx}$ ， $a < 1$ ，再 $H_x dx$ 之工作亦須完全用於加速液體，其一甚小係分用於抵消出口中之液體摩擦係力，此摩擦係力可設與 H_x 成比例，設 μ 為一較小於 1 之數則摩擦工作為

將此二者計入則

$$H_x dx = \frac{Q_r^3 \cdot \gamma}{2g} \cdot \frac{V_x^2}{a^2 \cdot q_{rx}^2} + \mu H_x dx$$

$$H_x \left(1 - \mu \right) = \frac{Q_r^3 \cdot \gamma}{2g} \cdot \frac{V_x^2}{a^2 \cdot q_{rx}^2}$$

$$\mu = a - \mu$$

$$H_x = \frac{Q_r^3 \cdot \gamma}{2 \cdot g \cdot \mu^2} \cdot \frac{V_x^2}{q_{rx}^2} \tag{103}$$

以常用單位代入即 Q_r, q_{rx} (cm²)； γ (g/cm³)， g (m/sec²) V_x (m/sec)

則

$$H_x = \frac{Q_r^3 \cdot \gamma}{20 \cdot g \cdot \mu^2} \cdot \frac{V_x^2}{q_{rx}^2} \text{ kg}$$

當液流係數 μ 之小，而其值變化甚大，與液體之速度及速度有關係，在相同之出口及於後退期由於噴射時之加壓係為駐退機系統之主要因素，其之主要原因大於液體

時必需慎重選取其數值，且必需留修整之餘地。由式(104)可知

滲口流出方之形狀影響 μ 之值，滲角之出口其 μ 值較圓角者為小。若液體經過滲口最小面積之前需改變其流向，則 μ 之值亦減小。

故 μ 之值最好就已有之開式設計複製而得之平均數選擇之，例如管壁刻槽式之 μ 約為0.65。環狀滲口，液體之流向不變，滲口出入口皆為圓角者 μ 之值可大至0.9，若液體經過之路彎曲過多則可小至0.4。

設計時 μ 之值宜稍大。若於射擊試驗時發現後退長較短，或壓力太高，可稍大滲口以補救之。

由(104)式可知滲口面積之減小，因 V_x 逐漸減至0， H_x 亦隨而急劇降低。若 H_x 為滲口前滲口面積 q_{rx} 亦漸減至0。故將(104)式得

$$q_{rx} = \sqrt{\frac{Q_x^2 \mu^2}{20 g \mu^2} \cdot \frac{V_x^2}{H_x}} \text{ cm}^2 \quad (105)$$

單位同(104)式。

若 V_x 及 H_x 為已知，即可由(105)式求 q_{rx} 。

駐退滲之滲口面積隨後退距離而變化，其設計方式甚多，通常用氣原理論如下：

- a. 駐退滲內壁刻等寬度而不等深度之槽形滲，或等深度而不等寬度者。

第廿二圖 I.

第廿二圖 II

b. 活塞上開滲口，其內伸入一或二等寬度而變長之調節桿，以變化其滲口面積。

c. 調節桿與活塞頭及活塞桿中，桿乃經由高壓亦多氣圓孔通入活塞頭外大部氣液流經調節桿及活塞桿間之環形滲口逸出活塞頭外，外部之

液體則進入室活塞桿內，調節桿之直徑各處不同，故漏口面積亦變化，近代之穿破砲駐退機多由此原理而變而成。(第 23 圖)

第廿三圖

第廿四圖

d. 活塞體上開數口，其前方或後方裝一調節環，環上亦開有同數缺口，調節環當後退時依駐退筒內壁所刻之斜槽而轉動，漏口面積因而被遮去一部分，漸漸減小。(第 24 圖)

後退時各時之駐退力為 $K_x = H_x + E_x + R_x - G_r \cdot \sin \Sigma$ 。於腔內壓力作用完畢後，後退體之運動方程式為

$$\frac{G_r}{g} \cdot \frac{d^2x}{dt^2} = -K_x$$

$$\frac{d^2x}{dt^2} = V \cdot \frac{dV}{dx}$$

$$\text{故 } \frac{G_r}{g} \cdot V \cdot dV = -K_x \cdot dx$$

$$\text{積分得 } \frac{G_r}{2g} \cdot V_x^2 = \frac{G_r}{2g} V_0^2 - \int_{x=S_0} K_x \cdot dx \quad (106)$$

K_x 用前述方法決定後由此式可求出 V_x 。

II. 減速期中 V_x 之計算

由野戰砲砲架之安定性及駐退力圖(第 22 圖)知後退距離 x 時之後退力為 K_x 其對線所示部分之面積故

$$E_x = (\xi - x) \cdot K\xi + \frac{1}{2}(\xi - x) \cdot \frac{\xi - x}{\xi - S_c} (K_{S_c} - K\xi)$$

$$V_x = \int \frac{2E_x}{G_r} = \sqrt{\frac{2}{G_r} (\xi - x) \cdot \left[2K\xi + \frac{\xi - x}{\xi - S_c} (K_{S_c} - K\xi) \right]} \quad (107)$$

第廿五圖

將此式算出各 x 之 V_x 繪於圖 E，得 V_x 曲線。

若 K_{S_c} = K\xi 即 K 為常數壓力則

$$V_x = \sqrt{\frac{2}{G_r} K\xi (\xi - x)} \quad (108)$$

砲架常用此式。

III. 加速期中 V_x 之計算 (迄後効完畢)

由內彈道計算，知砲彈行程 S_x 時之時間 t_x 及速度 v_x 則後退速度 V_x 及後退距離 S_x 可如下求得之：

加速期中無駐退力

$$V_x = \frac{v_x \left(G_r + \frac{L}{2} \right)}{G_r + L} \quad (109)$$

$$S_x = \frac{S_x \left(G_r + \frac{L}{2} \right)}{G_r + G_r + L} \quad (110)$$

加速期中已有駐退力 E

(811)

$$V_x = \frac{V_x(G_G + \theta, 5L)}{G_r} - \frac{E}{G_r} t_x \quad (111)$$

$$S_x = \frac{V_x(G_G + \theta, 5L)}{G_r + G_G + L} - \frac{E}{G_r} \frac{t_x^2}{2} \quad (112)$$

砲彈出口後之後效期中算式自亦可用樣求出，惟實際上不必詳細計算，僅求諸主要之數點即可：

$$(\Delta t + t_0) = \frac{D}{n} - \Delta t + \frac{2L}{nV} + V_{in} V$$

1. 砲彈離砲口時

$$S_0 = \frac{(\Delta t + t_0) - \frac{2L}{n}}{2} \frac{S(G_G + \theta, 5L)}{G_r + G_G + L} - \frac{E}{G_r} t_0 \frac{(\Delta t + t_0)}{2} \quad (113)$$

$$V_0 = V_0 - \frac{E}{G_r} t_0 \quad (114)$$

2. 最大後退速度時

後效期中之壓力為

(811)

$$P = P_0 \left(1 - \frac{t}{\Delta}\right)^2$$

在 $P=K$ 時，後退速度為最大，而以後 $P < K$ ，後退速度即減小，

$$K = P_0 \left(1 - \frac{t_{V_{max}}}{\Delta}\right)^2$$

故 $t_{V_{max}} = t \Delta \left(1 - \frac{K}{P_0}\right)$

$t_{V_{max}}$ 為 $P=E$ 之時間，

$$t \Delta = \frac{2L}{g} U_0 \frac{(\beta - \frac{1}{2})}{P_0}$$

$$V_{max} = V_0 + \frac{E}{G_r} \cdot t_0 + \frac{P_0 - E}{G_r} \cdot \frac{t_{vmax}}{g} \quad \text{最大速度日率限定值} \quad (115)$$

$$S_{vmax} = S_0 + V_0 t_{vmax} - \frac{E}{2G_r} (t_0 + t_{vmax})^2 + \frac{P_0}{G_r} \left(\frac{t_{vmax}^2}{2} - \frac{t_{vmax}^2}{6t\Delta} \right) \quad (116)$$

3. 後放完畢時

$$V_0' = V_0 + \frac{P_0}{2G_r} \cdot t\Delta - \frac{E}{G_r} (t\Delta + t_0)$$

$$S_0' = \frac{S'(G_r + 0.5L)}{G_r + G_r + L} + V_0 t\Delta + \frac{P_0}{G_r} \cdot \frac{t\Delta^2}{g} - \frac{E}{2G_r} (t_0 + t\Delta)^2 \quad (117)$$

4. 最大速度時 t_{pmax} 及 U_{pmax}

(111)

$$V_{pmax} = \frac{U_{pmax} \left(G_r + \frac{L}{2} \right)}{G_r} - \frac{E}{G_r} \cdot t_{pmax} \quad (117)$$

$$S_{pmax} = \frac{S_{pmax} (G_r + 0.5L)}{G_r} - \frac{E}{2G_r} \cdot t_{pmax}^2 \quad (118)$$

此 S_{pmax} 往往甚小，故可假定後退開始時之速度即為 V_{pmax} 將此數值給于圖上如左圖，野威爾架在加速期中可假定 S_0' 之距離內作用之平均壓力為 E_0' ；計算 $S_0' V_0'$ ，再假定 S_0' 之距離內作用之平均壓力為 E_0' ，計算 S_0' 及 V_0' 。 V_{max} 可不必計算，因其與 V_0' 相差極微。

各點間可大概用曲線連接之，因後效部分不甚可靠故不必十分重視之。在後效期，加速漸趨於零，以有餘分，實際上 V_x 與 V_x' 甚近，且皆在曲線之頂點附近，故一般可將 V_x' 以前視為加速期，以後視為減速期。

IV 駐退力圖解法

設 $P=f(t)$ 為氣體作用于後退體之力，用實驗方法求出其曲線（後效期亦在內）因，

$$m_x dV_x = P dt$$

$$\text{故 } V_x = \frac{1}{m_x} \int P dt$$

（若直接用實驗方法測出 V_x 曲線則可由 V_x 出發）

故將 $P=f(t)$ 曲線積分可得 $V_x=f(t)$ 曲線。

若有砲口制退機則砲彈出砲口後之後效期中同時有砲口制退機阻力在相反方向作用，故砲身後退之速度可少增加或甚而減小，故砲彈出口後 $P=f(t)$ 曲線可為負，即在橫座標軸下方，如圖 (27) 所示，

又砲身後退距離無駐退力時為 S_x 。

$$S_x = \int V_x dt$$

即再將 $V_x=f(t)$ 曲線積分可得各時間之無駐退力後退距離：各時間之駐退力決定後繪出曲線 $K=f(t)$ 同樣積分二次可得 V_{xR} 及 S_{xR} 。

將 $S_x' = S_x - S_{xR}$ 及 $V_x' = V_x - V_{xR}$ 繪出，

若所得之後退長與要求之 S_x 相近，即可將 V_x 及 K 對 S_x' 之曲線繪出，由此曲線可求出 E_x 如前述，

如 K 之值漸漸減小則 $K=f(t)$ 曲線已非直線，可先假定其曲線而在 $K=S_x'$ 圖中檢視其是否合用，必要時更改 $K=f(t)$ 曲線另行繪給， $K=f(t)$ 開始之上升部份亦需事先假定， $K=H+F+R$ 故 $K=f(t)$ 之值于有仰角時與減去後退體

重之分布。

圖中(27)(28)(29)(30)圖，點劃線所示各線為砲口制退器者，故砲口制退器之短後退長，或同樣之後退長即減小駐退力，而減輕砲架重量。

V. 駐退機計算法總結

加總期：

1. 開始後退時 (最大膛壓時)

$$V'_{Dmax} = \frac{V_{Dmax} \left(G_g + \frac{bA}{2} \right)}{G_r} - \frac{E}{g}$$

2. 砲彈出砲口時

$$V'_0 = V_0 - \frac{E}{G_r} \cdot t_0$$

$$S_0 = \frac{s(G_g + 0.5L)}{G_r + G_g + L} - \frac{E}{2G_r} t_0^2$$

$$V_0 = \frac{V_0(G_g + 0.5L)}{G_r}$$

野戰砲架 E 之值在用 S₀ 距離內以平均值 E₀ 代之。

3. 最大後退速度

$$V'_{max} = V_0 - \frac{E}{G_r} \cdot t_0 + \frac{P_0 - E}{G_r} \cdot \frac{t'_{vmax}}{g}$$

$$SV_{max} = S_0 + V_0 t'_{vmax} - \frac{E}{2G_r} (t_0 + t'_{vmax})^2 + \frac{P_0}{2G_r} \left(\frac{t_0^2 + t'_{vmax}^2}{2} - \frac{t_0 t'_{vmax}}{2} \right)$$

$$t \Delta = \frac{2L}{Cg} \left(\frac{P_0 - E}{P_0} \right) \cdot V_0$$

野戰砲架此二項可不必計算。以 S₀ 及 V₀ 代之。 00001

4. 後效完畢時。

計算退機情形

$$V_0 = V_0 + \frac{P_0}{2G_r} \cdot t\Delta - \frac{E}{G_r} (t\Delta + t_0)$$

(初彈對大量) 初速對後開

$$S_0 = \frac{S(Gg + 0,5L)}{G_r + G_g + L} + V_0 t \Delta + \frac{P_0}{G_r} \frac{t\Delta^2}{2} - \frac{E}{G_r} \frac{t\Delta^2}{2} - \frac{E}{G_r} (t_0 + t\Delta)^2$$

減速期：

野戰砲架

$$V_x = \sqrt{\frac{g}{G_r} (J-x) \left[2EJ + \frac{J-x}{J-S_0} (E S_0 - E J) \right]}$$

固定砲架

$$V_x = \sqrt{\frac{2g}{G_r} \cdot E J (J-x)}$$

繪出 V_x 曲線

由曲線測出之 H_x 及 V_x 算出出口面積

$$G_{rx} = \sqrt{\frac{Q_r^3 \cdot \gamma \cdot V_x^2}{2 \cdot g \cdot u^2 \cdot H_x}}$$

Q_r 可就設計而適當假定之，

$$Q_r = \frac{H}{P}$$

P 為駐退筒內單位壓力，不可超過 300 Kq/cm^2 。超過此壓力則塞筒之磨耗太大。

復退能在駐退機內大部變成熱能，若繼續連發較多之砲彈駐退機及駐退液之溫度可增至甚高。駐退液 (50% 甘油 50% 水) 之膨脹情形如下表：

溫度 $^{\circ}C$ 0° 10° 20° 40° 60° 80°

體積 cm^3 10000 10934 110076 110175 110280 110400

，其膨脹係數較鋼為大故駐退機高熱後往往後進不能完全到位。為避免此弊駐退筒內預留一部分空氣，或另設平衡室，俾液體膨脹時流出一部分至平衡室，冷卻時再流回。

駐退機之質量宜大，則溫度升高較緩，故駐退液量宜多。在駐退筒或平衡室內預留之空氣與駐退液量之比宜大，則空氣之壓力增加較緩，駐退筒內之空氣壓力，由駐退液達於活塞前後二面，其靜壓力差與前後二面之有效面積差即為活塞桿之斷面積成正比，當此總壓力超過復進器之初壓活塞即不能復進位置，故活塞桿之斷面積宜小。

駐退液之性質不可對溫度有甚大之變化，尤不能於低溫凝固。必需具有流動性俾復進不致太緩。對金屬及瓷筒等所用材料不得有腐蝕作用。故必須中性，一般礦油可合此條件，甘油亦可，惟 Ulaco 粘性 (VoPcoaitg) 較大，肥水亦可用，惟較易凝固。

常用之駐退液為甘油 60% 水 40% 另加 1% 之 NaOH，比重 8~1.15 凝固點的為 -35°C，在極寒之地亦有用酒精者。

u^2 之值就原有之相似設計覆算求出之。其值宜取稍大，以便試造試驗後修正漏口。

VI. 駐退力及後退速度覆算法

駐退機之漏口設計完竣後，須將各仰角之駐退力及駐退長等覆算。因連續方程式僅能於特殊情形下解確，故實用上多用下述之近似分段算法處理之。

彈道之速度分數計多，分段之數定每段之駐退壓力，此不變，則此壓力即可由 $H_1 = \frac{1}{2} \rho V_1^2$ 算出。則自 1 至 2 之動能損失為此 H_1 ，及復進機壓力，摩擦力與後退機分力之工作總和。故 E_2 之動能 E_2 可以算出， V_2 即求出。如此將各點之 $H_1, H_2, H_3 \dots$ 繪於圖上即得壓力曲線。分段愈多結果自愈精確。

駐退機應計算之點如下：

- (a) 固定砲架計算最大射角時之漏口，覆算 0° 之駐退壓力。
- (b) 野戰砲架計算 0° 射角時之漏口，覆算最大射角時之最大壓力。因其出駐點為安定性。

榴彈砲之用數種裝藥者，最大裝藥之最小射角不必訂定為 0° ，則以最大裝藥在規定之最小射角安定為條件。計算此射角之最大右讓之漏口。

變後退長之火砲則最大初速最大射角之後退長亦為主要條件。故漏口須能隨仰角自動變化，最大初速最大射角之漏口須同時設計。並計算射角之漏口面積，設計調節桿，及調節漏口曲線板時務使能與計算結果相近。最後加以覆算，以視相差之程度如何。

第六章 緩進機

為求復進於各種可能之意外情形下確實作用，後進器於後退期中所需之能量需大於理論上所需要者。若後退長一定則後進器於後進間所做之工作和等，而在各種射角所需之後進能不同，故射角愈小，多餘之工作愈大。砲身到位時即有相當速度，致撞動砲架，或使砲架局部變形。為避免此弊另加緩進器，以吸收此多餘之工作，使變為熱。緩進器所受之工作，隨射角而不同。

I. 復進時駐退機之作用：

駐退機內液體於復進時以相反方向流過漏口，故仍有壓力，最先研究此作用。設

x 為復進距離，自後退最後位置算起

H_2 為駐退筒內，於復進間之液壓，

4. V , 復進速度

F_x 復進器壓力。

$$m_r = \frac{G_r \Sigma}{g}$$

運動方程式爲

$$m_r \cdot V_r \cdot \frac{dV_r}{dx} = F_x - H_x - G_r(\sin \Sigma + u \cos \Sigma)$$

$$H_x = \frac{Q_r^2 \cdot \kappa}{2 \cdot g \cdot u^2} \cdot \frac{V_r^2}{g r_x^2}$$

Q_r 爲復進時之有效活塞面積。一般較大於後退時之有效面積。

$$\text{令 } C = \frac{Q_r^2 \cdot \kappa}{2 \cdot g \cdot u^2}$$

$$\text{則 } m_r \cdot V_r \cdot dV_r + \left[C \cdot \frac{V_r^2}{g r_x^2} + G_r(\sin \Sigma + u \cos \Sigma) - F_x \right] dx = 0$$

因 F_x 及 $g r_x$ 皆爲已知之函數。若此式能解出，則各 x 之 V_r 皆能算出。惟除特殊情形下此式往往無法解出，或過於複雜而不合實用。故一般仍用下述近似法分段計算之。

設於某短距離內 $g r_x$ 及 F_x 之變化甚少，假定爲常數。且令

$$F - G_r(\sin \Sigma + u \cos \Sigma) = L$$

$$\text{則 } m_r \cdot V_r \cdot dV_r + \left(C \cdot \frac{V_r^2}{g r_x^2} - L \right) dx = 0$$

$$\text{或 } \frac{V_r \cdot dV_r}{C \cdot \frac{V_r^2}{g r_x^2} - L} + \frac{dx}{m_r} = 0$$

解此式得

$$\ln \left(\frac{C}{g r_x^2} V_{r0}^2 - L \right) - \ln \left(\frac{C}{g r_x^2} V_r^2 - L \right) = - \frac{2 C x}{g r_x^2 m_r} \quad (119)$$

$$\text{或} \quad \frac{C'}{q_r^2} V_{rx}^2 - L = \left(\frac{C'}{q_r^2} \Lambda v_0^2 - L \right) e^{-\frac{2C'x}{q_r^2 m \mu}} \quad (120)$$

$$V_{rx} = \sqrt{\frac{1}{\frac{2C'}{q_r^2 m \mu} x} \left(V_0^2 - \frac{L \cdot q_r^2}{C'} \right) + \frac{L q_r^2}{C'}} \quad (121)$$

已知某點之 Y_{rs} , F_s 及 g_r 即可求出炮距離 x 後之 V_{rx} 。用此式將復進向各點之 V_{rx} 逐點分段求出，則各點之 H_s' 亦可求出，而繪成曲線。分段愈多則結果愈精確。此法較駐退機運算時所用者稍煩，因 H_s' 變化較急，故不能同樣處理。

用法計算某 7.5 cm 野砲 0° 及 20° 射角之復進速度曲線如下圖。

第 32 33 34 圖

由上圖可見駐退機於復進有甚大之作用，惟尚不足使砲身到位時無相當之衝擊。
 • 在 0° 仰角到位時速度為 2.78m/aec 約 157mkg 在 20° 仰角時 2.16m/aec
 • 95.6mkg。故欲使砲身到位。全無衝擊則必需另設緩進器。

緩進器本可獨立裝置，惟一般均附裝於駐退機內，以省地位。緩進器之尺寸較小。常用之設計為緩衝對稱如圖 (35) 及 (36)

第三五圖

第三六圖

緩進器可有二種方式。一種如開始復進即有作用者，另一種為僅復進數期方有作用者，前一種緩進壓力較低，無突然之衝擊，野戰砲架宜用之。惟較後一種構造複雜。

野戰砲架於復進間亦有安定性之限制。如駐退間作用於砲架之外力除 N_1 、 N_2 及 R 而外，向前有緩進壓力 H'_x ，向後則為復進壓力 F_x ，設 S_e' 及 S_r' 為自車輪觸地點起算之砲架重心及後退體重心水平距離。同前可得。

$$G_e \cdot S_e' + G_r \cdot S_r' > (H'_x + R - F_x) R \quad (122)$$

$$\text{或} \quad G_e \cdot \frac{S_e'}{h} + G_r \cdot \frac{S_r'}{h} + F_x > H'_x + R \quad (123)$$

$$\text{或} \quad H'_x < G_e \cdot \frac{S_e'}{h} + G_r \cdot \frac{S_r'}{h} + F - R \quad (124)$$

S_r' 復進間漸減小。h 為通過後退體重心與砲身軸平行之直線至車輪觸地點之距離。砲架向前翻轉時將以此點為中心。

當砲身加速前進時 $F_x > H'_x + R$ 。砲架必安定。當砲身減速時 $F_x < H'_x + R$ 。

有使機架有向前翻轉並向前移動之趨勢。

若機架車輪之利齒機鬆開，則機架向前翻轉之中心抵至車軸。因而較為安定。惟在軟土地面射擊時，駐彈前面往往留有空隙，車輪若不制動，至砲易向前移動。

第三十七圖

設自機輪向下給 R_x 曲線，自此曲線向上給復進壓力 F_x ，再自此曲線向上

$$\frac{G_s S_e'}{h} + \frac{G_r S_r'}{h}$$

曲線，則對橫坐標軸此曲線之各點縱坐標為

$$G_s \cdot \frac{S_e'}{h} + G_r \cdot \frac{S_r'}{h} + F_x - R_x$$

若復進壓力 H_x' 曲線各點之縱坐標小於此曲線則機架安定。(車輪已制動)。
 H_x' 曲線若高於 F_x 曲線，則高出部分(為 38 圖示)即表示使機架向前移動之力。
 若車輪於射擊時不制動，則此力實甚小，以免復進時砲架前移。

II. 僅於復進後期作用之緩進器

此類緩進器約如圖 46 所示。空活塞桿內之液體於復進至其空活塞桿折斷入射至緩衝活塞桿內。液體復被擠出。其出口面積與活塞桿內之液體量相

圖之原理圖

因駐逆機亦需在真空消滅後方開始作用，故在真空消滅前除小量之摩擦力及發射器重力外無復進機壓力作用。

活塞上附設復進調節器於復進時自動遮去大部分漏口者其作用情形亦相同。

第三十八圖

上圖設砲身仰角為 0° ，略去最初部分之摩擦力，則真空部分距離 01 僅有復進器壓力作用。在 1 點之砲身復進速度 $V_{v1} = \sqrt{\frac{2E_1}{G_r}}$ ， E_1 為梯形 011'0' 之面積。

設此時緩進器尚未開始作用，則僅駐逆機內發生緩進壓力，在 1 點為 $1a$ ，至 2 點緩進器發生壓力，此點之速度 $V_2 = \sqrt{\frac{2E_2}{G_r}}$ ， E_2 為梯形 100'1' 及 1'2'2' 二面積之差。設砲身復進到位之速度為 0，則此動能 E_2 需在復進到位時完全消滅。

將此面積差分配於 2'3' 上方，並使 cd 線與 2'3' 間之距離儘量小，因此距離為 2c 即使砲架向前移動之力，此力宜小。cd 線自當在復進安定線下方。cd 線決定後，2 點以後之復進速度即易算出。駐逆機之作用力 H_x 因漏口面積為已知，亦可算出，各圖之 f 曲線。則 cd 線與此曲線之坐標差即為緩進器壓力 H_x 由已算出之 V_{v2} 及 H_x 即可算出緩進器漏口面積

$$f = \frac{Q_s \cdot \delta}{V_{v2}^2} \quad \text{圖式十}$$

Q_1 如緩進器之有效面積。如用空活塞桿及調節對桿者真空活塞桿內孔之面積及此對桿之最小直徑均不在此限。假若此種空活塞與對桿之面積與

因自空活塞桿擠出之液體係流入有壓力存在之空間，故其流速以 $\frac{Q_1}{H_1}$ 爲準。同時在調節對桿之開口處液體之流速則自和 Q_1 計算而得。此種空活塞桿上之流速 H_1 則

$$q_{1x} = \sqrt{\frac{Q_1^3 \cdot r}{2 \cdot g \cdot w^2}} \cdot \frac{V_{1x}^2}{H_{1x} - \frac{Q_1}{Q_1} H_1} \quad (125)$$

Q_1 爲除去 Q_2 之駐退活塞面積。

由圖 (38) 可見此種緩進器因一部分之緩進不能利用，故于真空消滅後緩進壓力較高即使砲架向前之力較大，野戰砲架之具有此種緩進器者每于真空消滅時可見砲身突然減速之現象。

III. 全程作用之緩進器

常用之構造原理如圖 47 所示，若活塞向左運動，則活塞左邊之壓力使駐退液一部分通過活塞與駐退筒壁間之開口(未繪出)流至右邊，同時一部分液體由孔 a, b 壓開活門轉向左流入活塞桿內。復進時，調節對桿壓空活塞桿內之液使向左流出，惟此時活門緊閉，液體乃經調節對桿上所刻之槽 c 流至活塞右方。槽 c 之斷面設計時可參計算結果做成。

第三十九圖

孔 a 及 b 必須有相當之尺寸，駐退桿之液體方能于復進時完全灌滿，同時此

孔之尺寸對柱退漏口之尺寸亦發生影響，茲研究如下：

1. 灌滿後進機之必要條件

Q_r . 後退間之有效活塞面積

q_{rx} . 後退漏口面積

Q_v . 緩進器之有效面積

q_{mm} 進液孔 a, b 之最小面積

V_x 活塞之後退速度

Y_x 液體流過 q_{rx} 之速度

Y_x' 液體流過 q_{mm} 之速度

(註) 活塞向左運動所生之單位壓力為 p 則

$$h = \frac{p}{\gamma}$$

$$\text{故 } V_x = u_1 \sqrt{2 \cdot g \cdot h} = u_1 \sqrt{\frac{2g}{\gamma} p} \quad (126)$$

$$V_x' = u_2 \sqrt{2 \cdot g \cdot h} = u_2 \sqrt{\frac{2g}{\gamma} p} \quad (127)$$

若緩進器液體能於後退間灌滿則至少

$$q_{mm} V_x' = Q_v \cdot V_x$$

$$\text{(註)} \quad q_{mm} = \frac{Q_v \cdot V_x}{V_x'} = \frac{Q_v \cdot V_x}{u_2 \sqrt{\frac{2g}{\gamma} p}} = \frac{Q_v}{u_2} \sqrt{\frac{\gamma}{2 \cdot g \cdot p}} \cdot \sqrt{\frac{Q_v^2 \cdot V_x^2 \cdot \gamma}{u_2^2 \cdot 2 \cdot g \cdot p}} \quad (128)$$

$$\text{因 } p = \frac{H_x}{Q}$$

$$q_{mm} = \frac{1}{u_2} \sqrt{\frac{Q_v^2 \cdot Q_v \cdot \gamma \cdot V_x^2}{2 \cdot g \cdot Q}} = \frac{H_x}{Q} \quad (129)$$

故 q_{mm} 應為度數。

$$\text{又 } q_{rx} \cdot V_x \cdot \gamma t + q_{mm} \cdot V_x' \cdot \frac{c \cdot D}{4} = Q_v \cdot \gamma \cdot \frac{c \cdot D}{4}$$

故 $q_{rx} = \frac{1}{u_1} \sqrt{\frac{Q_r^3 \cdot \gamma}{2 \cdot g} \cdot \frac{V_x^2}{H_x} - q_{mm} \frac{u^2}{\gamma \cdot \text{may}}}$ (130)

2. 若 q_{mm} 為常數， q_{rx} 之計算

欲緩進機液滿液體

$$q_{mm} \leq \left(\frac{1}{u_2} \sqrt{\frac{Q_r^3 \cdot \gamma \cdot V_x^2}{2 \cdot g \cdot p}} \right) \cdot \text{may}$$

此式于 $V_x = V_{max}$ 為最大，其時之 $p = \frac{H_{max}}{Q_r}$

令 $q_{mm} = \frac{1}{u_2} \sqrt{\frac{Q_r^3 \cdot Q_r \cdot \gamma}{2 \cdot g} \cdot \frac{V_x^2}{H_{max}}}$ (131)

此常數之逸液孔面積除 V_{max} 處外對其他各距離皆大於所需者，排運之液體
 因故所需者為多，故駐退機內之壓力一部分運於緩進器內，排運 q_{mm} 之液體速度為

$$V'_x = \frac{Q_r \cdot V_x}{q_{mm}}$$

所需之壓力為 p'

$$V'_x = u_2 \sqrt{2 \cdot g \cdot h'} = u_2 \sqrt{\frac{2 \cdot g \cdot h'}{g} + p'}$$

(821) $p' = \frac{V_x^2 \cdot V_x \cdot \gamma}{u_2^2 \cdot g \cdot h'} = \frac{Q_r^2 \cdot V_x^2 \cdot \gamma}{u_2^2 \cdot g \cdot h' \cdot q_{mm}^2}$ (132)

緩進器內之壓力為

$$p - p'$$

駐退機之阻力為

(821) $H'_x = Q_r \cdot p - Q_r \cdot (p - p') = p(Q_r - Q_r) + Q_r \cdot p'$

或 $H'_x = p(Q_r - Q_r) + \frac{Q_r^3 \cdot V_x^2 \cdot \gamma}{u_2^2 \cdot g \cdot h' \cdot q_{mm}^2}$

故
$$p = \frac{H_x - \frac{Q_v^3 \cdot V_x^2}{g^2 \text{mm}}}{Q_r - Q_v} \cdot \frac{1}{2 \cdot g \cdot u_2^2} \quad (133)$$

又因
$$Q_r \cdot V_x = q_{\alpha} \cdot V_x + q \text{mm} \cdot V_x^2$$

及
$$q \text{mm} \cdot V_x = Q_r \cdot V_x$$

$$q_{\alpha} = \frac{V_x(Q_r - Q_v)}{V_x}$$

$$V_x = u_1 \sqrt{\frac{2 \cdot g}{\kappa} \cdot p} = u_1 \sqrt{\frac{2 \cdot g}{\kappa} \cdot \frac{H_x - \frac{Q_v^3 \cdot V_x^2}{g^2 \text{mm}}}{Q_r - Q_v}}$$

故
$$= \sqrt{\frac{(Q_r - Q_v)^3}{\frac{2 \cdot g \cdot u_1^2}{\kappa} \cdot V_x^2 - \frac{Q_v^3}{g^2 \text{mm}} (u_1 u_2)^2}} \quad (134)$$

第十四圖

緩進器於開始復進時亦可作用，惟其減短復進時間，及力之大小不能太或，如上圖 假定其壓力於真空部分依直線 $01'$ 增加，(增加方式自可隨意選擇)則在 1 點之砲身速度 V_1 ，可由斜綫所示之三角形面積 E_1 (圖能) 算出。在 1 點之駐退機力因 V_1 及 q_{α} 為已知可算出，在 1' 上方分配面積 E_1 及 b_1 ，其面積為 E_1

1ub (砲架) 1' 之縱距差儘量求其小，由該點各點之推進力，其他算法
 同前，(11)
$$\frac{F_{x, y, z} \cdot R}{\sqrt{O - Q}} = m \cdot g$$

固定砲架之算法相同，惟因其條件較鬆，算法可較簡。

緩進器於砲身仰角 0° 時設計完竣後，可推算各射角之緩進壓力及復進速度。

第七章 平衡器

I. 彈簧平衡器

砲身及搖架之重心不為砲耳軸之理想位置，因旋轉軸通過重心故高低機手輪僅需加小量之力即可搖動砲身。惟此種設計於大射角時每減少後退長度。故近年之火砲其砲耳之地位皆向後移至搖架後部。而砲身及其架重量所成之力矩則另加平衡器以抵消之。使高低機之受力儘量減少。

a. 水平地面之平衡力

第四十二圖

- M: 砲耳中心
- C: 平衡器之支點(可轉動)
- A: 之射角搖架上平衡力作用點
- A': 之 0° 之平衡力作用點
- A'': 之 0° 之平衡力作用點
- A''': 之 0° 之平衡力作用點

S 砲身及搖架之重心，G_r 為重量

$\sum(G_r \Sigma) = 0$ 之 S 位置

S' $\Sigma = \Sigma'$ 之 S 位置

a = GM 平衡器支點至砲耳之距離

b = AM = A₁M = A₂M 曲臂半徑

x = CA 平衡器某位置之長度

h 平衡力之力臂

α 了 重心 S₀ 及砲耳 M 之連結線與水平砲身軸之夾角，重心在砲身軸上方時為正數

γ CM 及 A₁M 之夾角

γ = γ + Σ' CM 及 A₁M 之夾角

Mm 砲 G_r 之最大力矩，即重心位置在通過砲耳中心之水平線上時之力矩。

Mg Σ' 射角之力矩

Mf 理想之平衡力矩

Pg Mg 在 CA 線上之作用力

Pf 在 CA 線上之平衡器力。理想上 Pf = -Pg；Pf 壓力時為負，拉力時

為正。

$$M_g = M_m \cdot \cos(\gamma + \Sigma)$$

$$M_f = P_f \cdot h \text{ 故 } M_g = P_g \cdot h$$

$$P_g = \frac{M_m \cdot \cos(\gamma + \Sigma)}{h}$$

由圖 三角形 MAC 之面積為

$$\frac{1}{2} \cdot x \cdot h = \frac{1}{2} \cdot a \cdot b \cdot \sin(\gamma + \Sigma)$$

$$h = \frac{a \cdot b \cdot \sin(\gamma + \Sigma)}{x}$$

$$P_g = \frac{M_m \cdot \cos(\gamma + \Sigma)}{a \cdot b \cdot \sin(\gamma + \Sigma)} \cdot x$$

$$\text{則 } a = \frac{b}{\cos Q}$$

$$P_s = \frac{Mm \cdot \cos \theta}{b^2} \cdot \frac{\cos(\gamma + \Sigma)}{\sin(\gamma + \Sigma)} \cdot x \quad (135)$$

設 Cf 為彈簧常數

$$Pf = Cf \cdot x,$$

故若 Pf 常與 $-Pg$ 相等則

$$\frac{Mm \cdot \cos \theta}{b^2} \cdot \frac{\cos(\gamma + \Sigma)}{\sin(\gamma + \Sigma)} = -Cf$$

上式中 $\frac{Mm \cdot \cos \theta}{b^2}$ 對某一設計為定數不因射角而變化故 $\frac{\cos(\gamma + \Sigma)}{\sin(\gamma + \Sigma)}$ 應為

常數方能合此條件。可能之情形有二 $\gamma = 90^\circ$ 或 $\gamma = 270^\circ +$ 因

$$\gamma = 90^\circ + \gamma' : \frac{\cos(\gamma + \Sigma)}{\sin(\gamma + 90^\circ + \Sigma)} = \frac{\cos(\gamma + \Sigma)}{\cos(\gamma + \Sigma)} = 1$$

$$\gamma = 270^\circ + \gamma' : \frac{\cos(\gamma + \Sigma)}{\sin(\gamma + 270^\circ + \Sigma)} = \frac{\cos(\gamma + \Sigma)}{-\cos(\gamma + \Sigma)}$$

第四十二圖

此二情形示於左圖。當 $\gamma = 90^\circ + \gamma'$ (點線所示位置) 平衡器之壓力應與其長度成正比，事實上不能辦到。故不能應用

$\gamma = 270^\circ + \gamma'$ 時平衡器之拉力應與其長度成正比。

$$pf = + \frac{Mm \cdot \cos \theta}{b^2} \cdot x$$

而實際上仍可用壓縮彈簧代之如圖所示。

$x=0$ 時 $Pf=0$ 故圖 (42) b 之彈簧壓力線 $P;P,C$ 通過 C 點，若此平衡器
 僅用於 X_0 至 X_1 之範圍，設 P_0 為最大壓力則預壓應為 P_0 。

若 S 之位從自 S_0 轉至 S_1 ，轉角為 $\Sigma = (90^\circ - \gamma)$ 則 A 點亦轉同大之角度
 自 A_0 至 A_1 故砲身及搖架重量之力矩為 0 時平衡器之力矩亦為 0。

故理論上準座之平衡器之條件為

$$\gamma = 270^\circ + \gamma, Pf = \frac{Mm \cdot \cos \theta}{b^2} \cdot x$$

因 $a = \frac{b}{\cos \theta}$

$$Pf = \frac{Mm}{a \cdot b} \cdot x \quad (137)$$

b. 傾斜地面之平衡力

上述完全平衡之平衡器在傾斜地面不復完全平衡茲計其平衡力矩差如下：

地面傾角為 δ ，在前高後低之斜面 δ 為正，反之為負。此時之重力矩

$$Mg' = Mm \cos(\gamma + \Sigma + \delta)$$

$$\Delta M = Mg - Mg' = Mm[\cos(\gamma + \Sigma) - \cos(\gamma + \Sigma + \delta)] \quad (138) \text{ 此力矩差將由}$$

高低機受之。

最常見之情形為 $\gamma = 0$ ，將 ΔM 算出，而以 Mm 之百分率計之列成表。十
 號表示平衡力矩大於重力矩，一號表示小於重力矩。

δ	$\frac{\Delta M_{max}}{M_m} \cdot 100$					
	5°	10°	15°	20°	25°	30°
-10°	-1,3	-1,5	-1,1	+1,9	+4,5	+7,9
0°	+0,4	+1,5	+3,4	+0,4	+1,5	+3,4
$+10^\circ$	1,9	4,5	7,9	-1,1	-1,5	-3,4
20°	3,4	7,4	12,1	-2,6	-4,5	-5,2
30°	4,7	10,0	15,9	-4,0	-7,4	-10,0
40°	5,9	12,3	19,2	-5,1	-10,0	-14,0
50°	6,9	14,3	22,0	-6,4	-12,3	-17,6
60°	7,7	15,8	24,1	-7,4	-14,3	-20,7
70°	8,3	16,8	25,5	-8,1	-15,8	-23,2
80°	8,7	17,4	26,1	-8,5	-16,8	-24,9
90°	8,7	17,4	25,9	-8,7	-17,0	-25,9

若 $\delta \approx C$ 則表中之 Σ 之代表 $\delta + \Sigma$,

設高低機担負之 ΔM 值允許為 M_m 之 5%。則在向後傾斜 5° 之地面射角可至 40° 在向後傾斜 15° 之地面射角僅為 20° 故 δ 與地面之斜度不宜大。否則將影響高低機之動作。

此種設計需裝於砲耳後方，往往因地位關係不能得此理想之設計。而將平衡器裝於砲耳前方者其能得近似之平衡力矩。

亦有於彈簧及砲耳間另加曲線板等中間機構，使裝於砲耳前方之彈簧平衡器亦能達完全之平衡者，惟其構造較為複雜。

II. 空氣平衡器

大口徑火砲之彈簧平衡器重量甚大。於一般之野戰砲架亦不能如上節所述繫平衡器俟依照理想裝於砲耳後方。故近年來多改用空氣平衡器而裝於砲耳前方。

1. 理論上所需之平衡力 P_g

第四十三圖

需要平衡之力矩

$$Mg = Mm \cos(\rho + \Sigma)$$

$$Mm = Gr \cdot Ss$$

此力矩應與平衡力矩 Mg 相等：

$$Mg = Pg \cdot h$$

由上圖知前節

$$h = \frac{ab \sin(\gamma + \Sigma)}{x}$$

$$Pg = \frac{Mm}{ab} \cdot \frac{\cos(\rho + \Sigma)}{\sin(\delta + \Sigma)} \cdot x$$

又 $x = \sqrt{a^2 + b^2 - 2ab \cos(\delta + \Sigma)}$ (139)

故 $Pg = Mm \frac{\cos(\rho + \Sigma)}{\sin(\delta + \Sigma)} \cdot \frac{\sqrt{a^2 + b^2 - 2ab \cos(\delta + \Sigma)}}{a, b}$ (140)

假定 $Mm, \rho, \delta,$ 及 a, b 為已知則可得 $Pg = f_2(x)$ 曲線如下圖 (.)

第四十四圖

各 x 之 Σ 亦繪出於圖上。 γ 之值與此曲線之性質有關若 $\gamma = 90^\circ + \beta$ 時

$P_g = Mm \cdot \frac{x}{ab}$ ，即 P_g 將隨 x 而增加。故 γ 之值宜選擇較小之數。

b. 實際之近似平衡力 P_f 之設計

圖上可見當公 30° 以下部份與氣櫃等溫度變化曲線相近似如於 $\Sigma_0 = 0^\circ$ 及

$\Sigma_{30} = 30^\circ$ 兩點完全符合。即 $P_g = P_f$ 則

$$P_0 \cdot q_0 \cdot l_0 = P_{30} \cdot q_0 \cdot l_{30}$$

或 $P_{30} \cdot l_0 = P_{30} \cdot l_{30}$

設 $l_{30} - l_0 = x_{30} - x_0 = c$

C 為自 $0^\circ - 30^\circ$ 平衡器之伸長度。上式 $l = \frac{V}{q_0} \cdot V$ 為空氣容積。 q_0 為

平衡器面積。 l 稱為換算長度常與實際之平衡器長度不同。惟伸長度 c 則相同。

由上二式可得

$$l_0 = \frac{P_{30}(x_{30} - x_0)}{P_0 - P_{30}} \tag{141}$$

$$P_0 = \frac{P_{30}}{q_0} \tag{142}$$

各射角 Σ 之 P_f

$$P_f = P_{30} \cdot \frac{l_0}{l_0 + (x - x_0)} \tag{143}$$

c. 大差別之修正法

一般在 45° 以下 P_f 及 P_g 之差別尚不大，實用上可無問題。惟如圖 (30) 所示大射角時 P_g 曲線向下彎曲，急遽減低。而 P_f 曲線則仍向上凹，減低安緩。故其差別加大，為低消此大差別需另加步置，空氣弱質均可利用。如圖 (31) 所示 x 需 x 增加時新增抗力，使總平衡力 P_f' 與 P_g 相近。

a. 例題

已知：
 $a_1 = 0,607m$
 $a_2 = 0,228m$
 $b_1 = 0,360m$
 $b_2 = 0,147m$
 $S_1 = 0,741m$
 $S_2 = 0,133m$
 $G_s = 665kg$

砲耳在砲身軸線上。

第四十五圖

$$a^2 = a_1^2 + b_1^2$$

$$b^2 = b_1^2 + b_2^2$$

$$S^2 = S_1^2 + S_2^2$$

$$t_{\alpha} \gamma_1 = \frac{0,228}{0,607} = 0,376$$

$$t_{\alpha} \gamma_2 = \frac{0,147}{0,360} = 0,408$$

$$t_{\alpha} \gamma = \frac{0,133}{0,741} = 0,179$$

$$Mm = G_s S = 665 \times 0,752 = 500mkg$$

$$x = \sqrt{a^2 + b^2 - 2ab \cos \delta + S^2}$$

第四十六圖

$$a = 0,648m$$

$$b = 0,388m$$

$$S = 0,752m$$

$$\alpha_1 = 20,6^\circ$$

$$\alpha_2 = 22,2^\circ$$

$$\alpha = 42,8^\circ$$

$$\gamma = 10,2^\circ$$

列表計算如下：

Σ	Σ	\cos	$2ad \cos$	$a^2 + b^2$	Σ	Σ	\cos	Pg	Pf
(Σ)	(Σ)	(Σ)	(Σ)	(Σ)	(Σ)	(Σ)	(Σ)	(Kg)	(Kg)
0	0	0	0	0	0	0	0	0	0
10	10	0.985	0.305	0.008	10	10	0.985	1210	110
20	20	0.938	0.231	0.032	20	20	0.938	1180	110
30	30	0.866	0.149	0.061	30	30	0.866	1040	104
40	40	0.766	0.063	0.100	40	40	0.766	910	91
50	50	0.643	-0.025	0.146	50	50	0.643	790	79
60	60	0.500	-0.112	0.196	60	60	0.500	670	67
70	70	0.342	-0.195	0.250	70	70	0.342	550	55
80	80	0.174	-0.273	0.300	80	80	0.174	430	43
90	90	-0.079	-0.342	0.346	90	90	-0.079	310	31
100	100	-0.174	-0.408	0.383	100	100	-0.174	190	19
110	110	-0.282	-0.470	0.410	110	110	-0.282	70	7
120	120	-0.386	-0.527	0.428	120	120	-0.386	0	0
130	130	-0.485	-0.579	0.437	130	130	-0.485	0	0
140	140	-0.577	-0.626	0.437	140	140	-0.577	0	0
150	150	-0.661	-0.668	0.428	150	150	-0.661	0	0
160	160	-0.734	-0.705	0.410	160	160	-0.734	0	0
170	170	-0.796	-0.737	0.383	170	170	-0.796	0	0
180	180	-0.846	-0.755	0.346	180	180	-0.846	0	0
190	190	-0.882	-0.759	0.300	190	190	-0.882	0	0
200	200	-0.904	-0.749	0.250	200	200	-0.904	0	0
210	210	-0.911	-0.726	0.196	210	210	-0.911	0	0
220	220	-0.904	-0.691	0.140	220	220	-0.904	0	0
230	230	-0.882	-0.645	0.083	230	230	-0.882	0	0
240	240	-0.846	-0.589	0.025	240	240	-0.846	0	0
250	250	-0.796	-0.523	0.000	250	250	-0.796	0	0
260	260	-0.734	-0.447	0.008	260	260	-0.734	0	0
270	270	-0.661	-0.362	0.032	270	270	-0.661	0	0
280	280	-0.577	-0.269	0.061	280	280	-0.577	0	0
290	290	-0.485	-0.169	0.096	290	290	-0.485	0	0
300	300	-0.386	-0.063	0.137	300	300	-0.386	0	0

$$Pg = \frac{M \sin(\Sigma)}{\sin(\Sigma)} \sqrt{a^2 + b^2 - 2ab \cos(\Sigma)}$$

P_g 曲線如圖 (31) 所示。Pf 曲線於 $\Sigma=0^\circ$ 及 $\Sigma=30^\circ$ 兩點符合則

$$l^0 = \frac{1040.0 \cdot 200}{250} m = 0.832m$$

設平衡器有兩個直徑為 5 cm, 則

$$q_a = 2 \cdot \frac{\pi}{4} \cdot 5^2 = 39.2 \text{ cm}^2$$

$$p_0 = \frac{1290}{39.2} = 32.9 \text{ kg/cm}^2$$

若將各處之磨擦力計入則尚較高。

$$P_f = p_0 \cdot \frac{l_0}{l_0 + (x = x)}$$

列於上表及圖 (32) 虛線所示。

附加之彈簧「平衡力修正裝置」於 $M=420$; $x=0.724m$ 開始作用。彈簧常

數 $C_f = \frac{320}{20.5} = \frac{kg}{cm}$ 其總平衡力 Pf 如圖中點劃線所示與 P_g

曲線相近。彈簧之工作如圖中細線所標所示。

P_f 及 P_f' 為免除高低機之遊隙, 以稍大於 P_g 為宜。即 P_f 及 P_f' 曲線較高於 P_g 曲線而盡量與之接近。則砲身之仰角不致因遊隙而發生不定向之誤差。

